



سنجش از دور

GIS ایران



سنجش از دور و GIS ایران  
Vol.13, No. 1, Spring 2021

سنجش از دور و GIS ایران  
Iranian Remote Sensing & GIS

۳۲-۵۴

مقاله پژوهشی

## دقت الگوریتم‌های جریان و DEM‌های استر (ASTER) و نقشه‌های توپوگرافی ۱/۲۵۰۰۰ در استخراج بعد فرآکتال شبکه زهکشی

مژده محمدی خشنوئی<sup>۱\*</sup>، محمدرضا اختصاصی<sup>۲</sup>، علی طالبی<sup>۳</sup>، سید زین‌العابدین حسینی<sup>۲</sup>

۱. دکتری آبخیزداری دانشکده منابع طبیعی، دانشگاه یزد

۲. استاد دانشکده منابع طبیعی، دانشگاه یزد

۳. استادیار دانشکده منابع طبیعی، دانشگاه یزد

تاریخ پذیرش مقاله: ۱۳۹۹/۰۶/۱۰

تاریخ دریافت مقاله: ۱۳۹۸/۰۴/۰۹

### چکیده

اجرای موفقیت‌آمیز انواع مدل‌های در مقیاس منطقه‌ای به انتخاب نوع داده و الگوریتم مناسب بازمی‌گردد. این نکته، در کنار ممکن‌بودن اندازه‌گیری تامی اجزای طبیعت، منجر به شکل‌گیری تحولی بزرگ در شیوه درک پدیده‌ها شده است. در این شیوه، می‌توان هر جزء از طبیعت را به صورت یک عدد کمی هندسه‌فرآکتال درآورد. در پژوهش حاضر، به منظور بررسی بعد فرآکتال شبکه زهکشی روی سازندهای زمین‌شناسی حوضه دشت یزد-اردکان، همزمان روی الگوریتم‌های جریان یکسویه و چندسویه و DEM‌های ASTER و SRTM و استر (ASTER) و نقشه‌های توپوگرافی ۱/۲۵۰۰۰ تمرکز شده است تا، در نهایت، مقادیر بعد فرآکتال از نقشه شبکه‌زهکشی نزدیک به واقعیت زمینی استخراج شود. با مقایسه نتایج، کمترین اختلاف، در مقادیر طول و رتبه آبراهه، متعلق به نقشه‌های توپوگرافی ۱/۲۵۰۰۰ و بعد از آن، مدل رقومی استر و الگوریتم چندسویه است. هرچند الگوریتم چندسویه جزئیات بیشتری از شبکه زهکشی نشان می‌دهد؛ از نظر تعداد رتبه‌های آبراهه، به ویژه رتبه ۱، با نقشه واقعیت زمینی تفاوت دارد. بنابراین، با توجه به حساسیت بعد فرآکتال به کوچکترین تغییر در شبکه زهکشی، شبکه زهکشی نقشه‌های توپوگرافی با بیشترین اطباق با واقعیت زمینی انتخاب شد. میانگین بعد فرآکتال ۱/۱۴۹ و ۱/۱۶ و ۱/۲۰۷، بهترتیب، نشان‌دهنده سازند آهک تفت، گرانیت و کهر است. درواقع، بین بعد فرآکتال و حساسیت سازندهای زمین‌شناسی ارتباط معنی‌داری وجود دارد (سطح ۰.۹۹)، بهنحوی که، با افزایش حساسیت سنگ‌شناسی و بدین عین آن، تراکم زهکشی، عدد فرآکتال افزایش می‌یابد. بنابراین، می‌توان ادعا کرد که تحلیل ابعاد فرآکتال شبکه زهکشی روی سازندهای زمین‌شناسی بررسی سریع و دقیقی از فرسایش‌پذیری واحدها را به می‌کند.

**کلیدواژه‌ها:** مدل رقومی ارتفاع، شبکه زهکشی، الگوریتم جریان، بعد فرآکتال.

\* نویسنده مکاتبه‌کننده: دانشکده منابع طبیعی، دانشگاه یزد. تلفن: ۰۳۵۷۹۶۹۹۶۲.

Email: m.mohammadi@stu.yazd.ac.ir

## ۱- مقدمه

D<sub>∞</sub> (Costa-Cabral & Burges, 1994) DEMON Orlandini & D<sub>∞</sub>-LTD (Tarboton, 1997)؛ ۳. جهت جریان چندسویه کامل<sup>۵</sup> (Moretti, 2009 MD<sub>∞</sub> (Quinn et al., 1991). روش‌های MD8<sup>۶</sup> (Seibert & McGlynn, 2007) (محمدی، ۱۳۹۶).

هدف تمامی الگوریتم‌ها پیشنهاد روشی است که با مدل واقعی انطباق بیشتری داشته باشد اما همیشه شبکه‌های زهکشی‌ای که به طور اتوماتیک مشخص می‌شوند مطابقت خوبی با نوع دستی از خود نشان نمی‌دهند (Garcia & Camarasa, 1999). نتیجه بررسی‌ها حاکی از این است که قابلیت الگوریتم‌های استخراج شبکه‌های زهکشی، در مناطق کم‌شیب، ناتوان و در مناطق پرشیب، با خطاهایی همراه است (Poggio & Soille, 2011). ارزیابی تأثیر دو الگوریتم روندیابی یکسویه و چندسویه در شبیه‌سازی رواناب روزانه در مدل TOPPMODEL نشان داد که نوع الگوریتم جریان مورد استفاده در محتوای رطوبتی خاک تأثیر در خور توجهی دارد و چنانچه هدف از کاربرد مدل TOPPMODEL شبیه‌سازی تغییرات مکانی ویژگی‌های هیدرولوژیکی باشد، الگوریتم جریان چندسویه مناسب‌تر از الگوریتم جریان یکسویه است (Bhawan, 2001). در پژوهشی با استفاده از مدل رقومی ارتفاع، مسیرهای حرکت جریان روی دامنه پیش‌بینی شد. نتایج این بررسی نشان داد که دقیت پیش‌بینی‌های مدل‌های توزیعی با توجه به صحت مسیرهای جریان برآورده مشخص می‌شود (Quinn et al., 1991).

1. Digital Elevation Model (DEM)
2. Single Flow Direction (SFD) or Single Neighbour Flow (Non Dispersive)
3. Steepest Decent Routing or Eight- Direction
4. Multiple Flow Direction (MFD) or Multiple Neighbour Flow (Moderately Dispersive Method)
5. Multiple Flow Direction (MFD) or Multiple Neighbour Flow (Fully Dispersive Method)
6. Multiple-D8

شبکه‌های زهکشی، علاوه بر هیدرولوژیست‌ها، از نظر زمین‌شناسان و ژئومورفولوژیست‌ها و دیگر محققان علوم محیطی اهمیت دارند. برای آماده‌کردن برنامه‌های جامع آبخیزداری، لازم است وضعیت توپوگرافی، فرسایشی و الگوهای زهکشی منطقه مورد مطالعه شناسایی و ارزیابی شود. اما برآورد دقیق ویژگی‌های کمی و کیفی شبکه‌های زهکشی از طریق عملیات میدانی مستلزم صرف زمان و هزینه زیادی است؛ به همین خاطر، بیشتر تحلیل‌ها براساس داده‌های استخراجی از نقشه‌های توپوگرافی و تصاویر ماهواره‌ای انجام می‌گیرد (رضائی‌مقدم و احمدی، ۱۳۸۵). در مقیاس حوزه‌آبخیز، توپوگرافی عامل اصلی کنترل کننده هیدرولوژی به حساب می‌آید و توزیع مکانی عوامل گوناگون محیطی مانند آب‌وهوا، شکل‌گیری خاک، الگوهای رطوبتی خاک و حتی تنوع زیستی را تحت تأثیر قرار می‌دهد. توپوگرافی منطقه را می‌توان، با استفاده از مجموعه‌ای از مقادیر ارتفاعی، مدل کرد. مدل‌های رقومی ارتفاع<sup>۱</sup>، که حاصل جمع‌آوری داده‌های ارتفاعی به روش‌های سنجش از دور است، طی دهه‌های اخیر، کاربرد وسیعی در ژئومورفولوژی و دیگر علوم محیطی داشته و به کمک الگوریتم‌های رایانه‌ای، همچنان رو به توسعه است. در سیاه پیشرفت تکنولوژی محاسباتی، در دهه ۱۹۸۰ م. از DEM برای استخراج و تجزیه و تحلیل عددی شبکه زهکشی استفاده شد. سوابق مطالعاتی انجام گرفته نشان‌دهنده این است که برای تولید اتوماتیک شبکه‌های زهکشی، اغلب از DEM، نقشه‌های جهت جریان و نقشه‌های تجمعی جریان استفاده می‌شود. برای تهیه این پارامترها، الگوریتم‌های متعددی وجود دارد که در این سه دسته کلی قرار می‌گیرند: ۱. جهت جریان یکسویه<sup>۲</sup>، شامل روش‌های D8<sup>۳</sup> (O'Callaghan and Mark, 1984) و D8-LTD (Orlandini et al., 2003)؛ ۲. جهت جریان چندسویه متوسط<sup>۴</sup>، شامل روش‌های لی (Lea, 1992)،

از DEM‌های نوع استر و SRTM، نشان داد دقتهای نوع DEM برابر با نقشه‌های توپوگرافی  $1/50000$  است و در مطالعه لاهار، DEM‌های SRTM، با وجود درشتی بیشتر، دقتهای بیشتری دارد (Huggel et al., 2008) (Thomas et al., 2014) (Huang & Lee, 2016). در دو حوزه آبخیز در کشور هند (Thomas et al., 2014) و سه حوزه آبخیز در ایران (آقاطاهر و همکاران، ۱۳۹۴)، مدل رقومی SRTM، صرف نظر از قدرت تفکیک کمتر در مقایسه با سنجنده استر، به نسبت نقشه‌های توپوگرافی  $1/50000$  (مدل رقومی ارتفاع ۲۰ متری) دقتهای عمودی تقریباً مناسب‌تری دارد. همچنین، بررسی‌ها در شمال شرق تونس (Ouerghi et al., 2015)، شمال شرق مراکش (Lahsaini et al., 2015) و شهر نجران عربستان سعودی (Elkhrachy, 2018) نشان داد که داده‌های SRTM، در مقایسه با داده‌های استر، دقتهای نزدیک‌تر به واقعیت زمینی دارند. اما بررسی DEM‌های متفاوت، با استفاده از تحلیل پارامترهای مورفومتریک آبراهه در حوزه آبخیز سویین‌آپر، نشان داد DEM‌های مستخرج از نقشه‌های توپوگرافی  $1/50000$  و استر دقتهای بیشتر از مدل رقومی SRTM، در استخراج شبکه آبراهه، دارند (Das et al., 2016). کیفیت مدل رقومی استر در ارتباط مستقیم با شبیه‌زمین است (Sefercik, 2012) و برای افزایش دقتهای مطالعات مدیریت و حفاظت از منابع آب و خاک، کاهش زمان و هزینه کاربرد این داده ارتفاعی پیشنهاد می‌شود (مرrog و همکاران، ۱۳۹۴). نتایج حاصل از مقایسه مدل‌های رقومی SRTM و استر حاکی از این است که این مدل‌ها، در استخراج الگوی زهکشی دامنه‌ها در نواحی فشرده جنگلی جنوب بهشهر، دقتهای مناسب و بالایی ندارند (شريفی‌کیا و همکاران، ۱۳۹۷). با اینکه در تولید و تحلیل DEM پیشرفت‌هایی صورت گرفته است؛ انتخاب نوع داده

هیدرولوژیکی اغلب به دلیل تخمین اشتباه ارتفاع عوارض و شبیه اتفاق می‌افتد (Thompson et al., 2001). روندیابی رودخانه‌های فصلی حوضه کارون الگوریتم D8 را به دلیل سادگی و پراکندگی نداشتند جریان، روشنی مناسب در تعیین امتداد جریان نشان داد (حیدری، ۱۳۸۸) و در پیمایش جریان حوزه آبخیز یولو در کشور تایوان، ویژگی‌های پراکندگی جریان، با استفاده از الگوریتم MD8، واضح‌تر از الگوریتم D8 مشاهده شد (Huang & Lee, 2016). مقایسه نتایج بررسی الگوریتم جریان چندسویه و یکسویه در حوضه کاخک نشان‌دهنده برتری الگوریتم چندسویه است؛ چرا که این الگوریتم تحت تأثیر مستقیم خصوصیات فیزیکی حوضه‌ها، به ویژه توپوگرافی سطحی و تحدب و تقرع دامنه‌ها، قرار دارد و از آن تبعیت می‌کند (طالبی و همکاران، ۱۳۹۳). در گذشته، مطالعات روی الگوریتم‌های رایانه‌ای متتمرکز بوده ولی، در سال‌های اخیر، بیشتر به DEM‌ها پرداخته شده است. منابع تولید DEM تنوع بسیاری دارد و دقتهای متفاوتی را از چندصد متر تا  $0.5$  متر، دربر می‌گیرد. هرچند به نظر می‌رسد درستی و دقتهای تجزیه و تحلیل‌های مبتنی بر DEM‌ها تا حد زیادی به قدرت تفکیک DEM‌های اولیه بازمی‌گردد؛ بنا به اظهارنظر بسیاری از پژوهشگران، نمی‌توان پذیرفت DEM‌های دارای ابعاد سلولی کوچک‌تر همیشه نتایج رضایت‌بخش‌تری دارند (Li & Wong, 2010). ارزیابی مدل‌های رقومی LIDAR، SRTM، ASTER<sup>۱</sup> و نقشه‌های توپوگرافی به دست آمده از برداشت‌های زمینی بر عملکرد مدل‌های یک بعدی HEC-RAS و دو بعدی LISFLOOD در رودخانه جوهر، واقع در کشور مالزی، نشان داد کاربرد مدل‌های رقومی ارتفاع متفاوت تأثیر بسیار مهمی در خروجی مدل‌های هیدرولوژیکی دارد؛ به طوری که اثر منبع تهیه DEM تأثیری به مراتب بیشتر از توان تفکیک DEM در پارامترهای هیدرولوژیکی شبیه‌سازی شده دارد (Ali et al., 2015). مدل‌سازی فرایند لاهار، با استفاده

1. ASTER

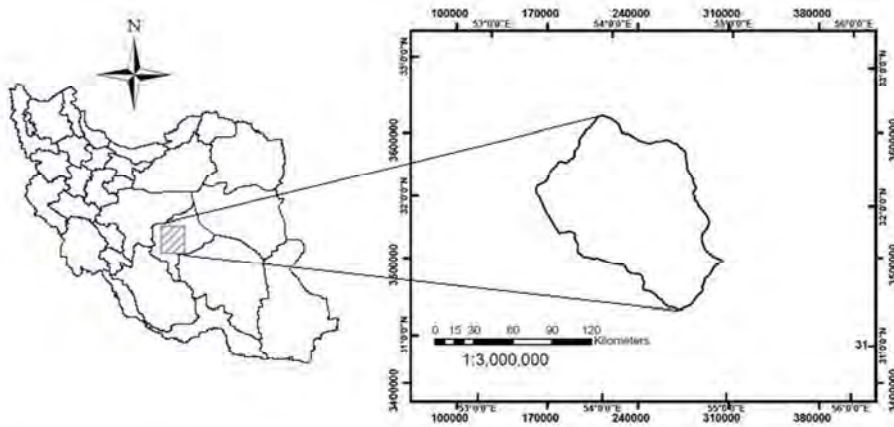
جريان يك سوئه D8 و چندسوئه MD8 های DEM و استر و نقشه های توپوگرافی ۱/۲۵۰۰۰ تمرکز شده است تا، در نهایت، مقادیر بعد فراکتال از نقشه شبکه زهکشی نزدیک به واقعیت زمینی استخراج شود.

## ۲- موقعیت جغرافیایی و زمین‌شناسی منطقه مورد مطالعه

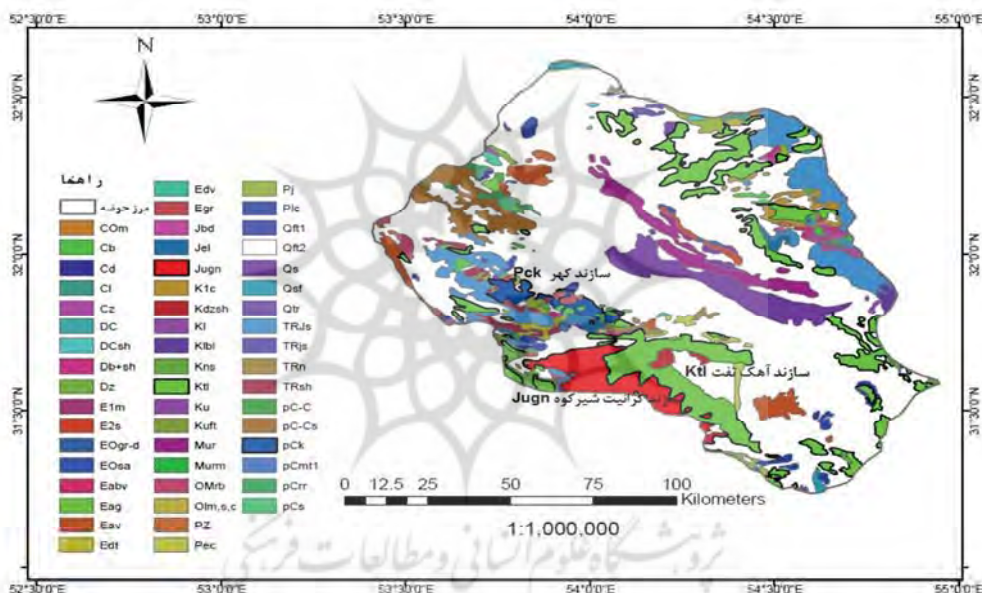
حوزه آبخیز دشت یزد-اردکان در مختصات جغرافیایی ۵۷° ۴۸' تا ۳۱° ۳۲' عرض شمالی و طول شرقی ۵۲° تا ۵۹' ۵۴' فلات مرکزی ایران گسترده شده است. این حوضه یکی از مهم‌ترین حوضه‌های استان یزد، از دیدگاه منابع طبیعی، به شمار می‌رود. تراکم پوشش گیاهی آن از ۰٪ تا ۲۰٪ متغیر است و بیش از ۴۰٪ مساحت دشت را اراضی لخت و بدون پوشش گیاهی، با تراکم کمتر از ۲٪، تشکیل می‌دهد. این منطقه، به‌دلیل قراردادشتن زیر مرکز فشار زیاد جنب استوایی، دارای بارندگی کم و نوسانات درجه حرارت زیاد است. میزان بارش منطقه، کمتر از ۶۵ میلی‌متر در حوالی کویر سیاه کوه تا بیش از ۲۵۰ میلی‌متر در ارتفاعات شیرکوه، متفاوت است. در حوضه مورد مطالعه، آثار قدیمی‌ترین واحدهای زمین‌شناسی مربوط به پرکامبرین تا جدیدترین آن، یعنی پادگانهای آبرفتی و نهشته‌های ماسه‌بادی، به چشم می‌خورد. قدیمی‌ترین سازند موجود در منطقه به صورت سنگ‌های دگرگونی مشکل از فیلیت، شیل و شیست سیز و سیاه سازند کهر مربوط به پرکامبرین است که بیشتر در جنوب‌غرب یزد مشاهده می‌شود. گرانیت تا گرانوودیوریت شیرکوه، مربوط به دوره ژوراسیک، بخش وسیعی از مناطق کوهستانی حوضه را شامل می‌شود. دوره کرتاسه، با رخساره‌آهکی مربوط به سازند غیررسمی آهک تفت، نیز محدوده وسیعی از دامنه‌های شمالی جبال شیرکوه، اغلب ارتفاعات ۱۶۰۰ تا ۴۰۰۰ متری، را در بر می‌گیرد. این رخساره، پس از گرانیت شیرکوه، بخش وسیعی از مناطق کوهستانی جنوب و جنوب‌شرق حوضه را دربر گرفته است (محمدی، ۱۳۹۶).

مناسب برای اهداف خاص، دسترسی به داده‌های باکیفیت در مقیاس منطقه‌ای و خطاهای DEM از جمله چالش‌های اصلی در مدل‌سازی فرایندهای طبیعی شمرده می‌شوند. علاوه‌بر این، بسیاری از پدیده‌های طبیعی دارای متغیرهای فراوانی‌اند که برقراری روابط بین آنها، با استفاده از روش‌های معمول ریاضی، مشکل است. این نکته، در کنار نبود امکان اندازه‌گیری تمامی اجزای طبیعت، منجر به ایجاد تحولی بزرگ در شیوه درک و تبیین پدیده‌ها شد. در این شیوه، از طریق هندسه فراکتال<sup>۱</sup> و طبق این نظریه که بسیاری از پدیده‌های جهان طبیعت، در عین بی‌نظمی، دارای نظم‌اند، می‌توان هر جزء از طبیعت را به صورت یک عدد کمی هندسه فراکتال درآورد. پدیده‌های ژئوفیزیکی مانند شبکه‌های زهکشی ساختارهای درخت‌مانند فراکتالی هستند که روابط توانی بسیاری بین اجزای ژئومورفیک آنها برقرار است (Pelletier, 2007). در واقع، هندسه فراکتال (Mandelbrot, 1983)، یا همان زبان ریاضی طبیعت، ابزاری کمی برای بررسی ژئومورفولوژی شبکه‌های زهکشی و مدل‌سازی بسیاری از پدیده‌های پیچیده طبیعی است (خسروی و همکاران، ۱۳۹۵؛ محمدی، ۱۳۹۶؛ محمدی و همکاران، ۱۳۹۸) (Hui & Changxing, 2017; Kusák, 2014; Khanbabaei et al., 2013). به‌منظور بررسی ژئومورفولوژی شبکه‌های زهکشی، در پژوهش حاضر، از مدل‌های رقومی استر و SRTM استفاده شده است. از مهم‌ترین رایگان و پوشش گسترده از این DEM‌ها دسترسی رایگان و پوشش وسیع آنهاست. بنابراین، ارزیابی صحت این داده‌ها برای کاربرد نتایج آنها در مدل‌سازی شبکه‌های زهکشی اهمیت فراوانی دارد. اما، در بیشتر مطالعات برآورده بعد فراکتال شبکه زهکشی و مدل‌سازی حوضه، خروجی‌های بدست‌آمده از نرم‌افزارها بدون توجه به بررسی میزان مطابقت آنها با نقشه واقعیت زمینی به کار می‌رود. از این‌رو، در پژوهش حاضر، به‌منظور بررسی بعد فراکتال شبکه زهکشی روی سازندهای زمین‌شناسی در حوضه دشت یزد-اردکان، همزمان روی الگوریتم‌های

دقیق‌ترین DEM‌های جریان و ASTER



**شكل ١.** موقعیت کشوری و استانی محدوده مطالعاتی- حوزه آبخیز دشت یزد- اردکان



شکل ۲. پرائیس سازندهای زمین‌شناسی حوزه آبخیز دشت یزد- اردکان

۳- مواد و روش‌ها

بیژوهش حاضر از پنج بخش اصلی تشکیل شده است.

### ۱-۳- جمع‌آوری نقشه و داده‌های مورد نیاز

در این بخش، نقشه‌های توپوگرافی رقومی با مقیاس ۱/۲۵۰۰۰ سازمان نقشه‌برداری کشور، به تعداد نه شیت، واقع در چهار بلوک نائین (بلوک ۶۹)، اردکان (بلوک ۷۰)، آباده (بلوک ۷۹) و یزد (بلوک ۸۰) و نقشه‌های زمین‌شناسی با مقیاس ۱/۱۰۰۰۰۰ از

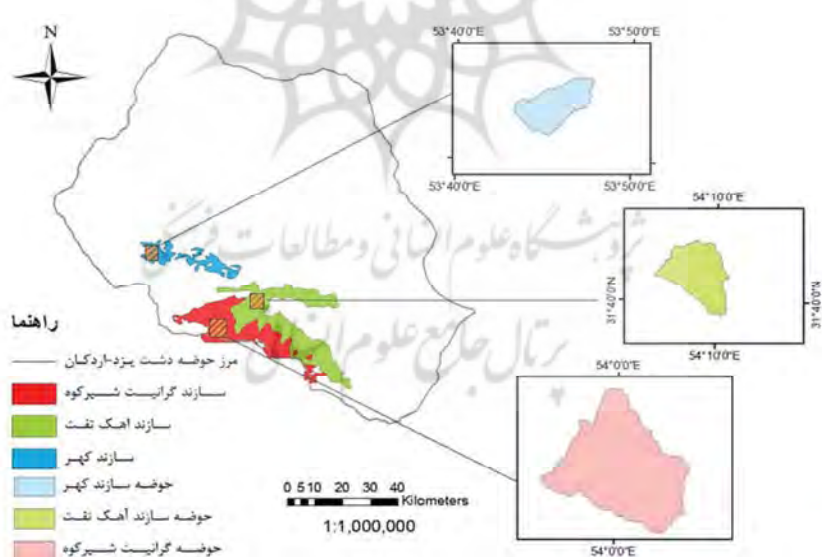
سازمان زمین‌شناسی و اکتشافات معدنی کشور تهیه شد. همچنین، در پژوهش حاضر، از داده‌های رقومی ارتفاع استر و SRTM به‌دلیل دسترسی آسان و رایگان، استفاده شد؛ چرا که سوابق مطالعاتی انجام شده این دو داده رقومی را برای بررسی‌های کمی شبکهٔ زهکشی و مطالعات ژئومورفولوژی، مناسب نشان دادند (Smith & Pain, 2009). از میان سازنده‌های زمین‌شناسی حوضه دشت بیزد-اردکان، سه سازندهٔ زمین‌شناسی، کهرو،

**۳-۳- مسیریابی جریان روی مدل رقومی ارتفاع**  
 به منظور استخراج شبکه زهکشی از مدل‌های رقومی ارتفاع، دو الگوریتم جریان یکسویه D8 و جریان چندسویه MD8 به کار گرفته شد. الگوریتم D8، به دلیل سرعت بالای محاسبات و تطبیق بهتر با مدل‌های رقومی ارتفاع، اغلب برای استخراج شبکه‌های زهکشی استفاده می‌شود (Chen et al., 2012). محاسبه شبکه زهکشی، با استفاده از الگوریتم‌های جریان یکسویه و چندسویه، در محیط نرم‌افزار السویس<sup>۱</sup> انجام شد. این نرم‌افزار دارای امکانات منحصر به فردی است که می‌توان آن را بهترین نرم‌افزار متن باز<sup>۲</sup> از سری نرم‌افزارهای GIS، برشمرد. نرم‌افزار مورد اشاره، با رعایت استانداردهای سختگیرانه در تحلیل‌های مبتنی بر داده‌ها، ArcGIS، لایه‌های رستری، در مقایسه با نرم‌افزار تووانایی و دقت عمل بیشتری در محاسبه توزیع جریان با الگوریتم‌های یکسویه و چندسویه دارد. روندیابی

گرانیت شیرکوه و آهک تفت انتخاب شد. انتخاب این سه سازند، به دلیل گستردگی مکانی و پراکنده‌بودن آنهاست که این نکته امکان نمونه‌برداری تصادفی را در سطحی وسیع و همگن، محدود می‌کند. به همین منظور، مسیریابی جریان و بررسی کمی شبکه‌های زهکشی در سه زیر‌حوضه انتخابی حوضه دشت یزد-اردکان، که به ترتیب روی این سه سازند زمین‌شناسی قرار گرفته‌اند، انجام شد.

### ۲-۳- تصحیح مدل رقومی ارتفاع

پیش از روندیابی، باید پیش‌پردازش روی مدل رقومی استر و SRTM انجام بشود. این کار به منظور حذف خطاهای موجود، مانند چاله‌ها و گودال‌های غیرطبیعی، است که طی محاسبات رستری به وجود می‌آید. عملیات تصحیح مدل رقومی ارتفاع، از طریق پرکردن چاله‌ها و گودال‌ها، با دستور Fill Sink (محمدی، ۱۳۹۶) انجام شد.



شکل ۳. موقعیت حوضه‌های انتخابی روی سه سازند زمین‌شناسی منطقه مورد مطالعه

1. Integrated Land and Water Information System (ILWIS)
2. Open Source

اصلی N، NE، E، W، NW و SW جهت فرعی را می‌پذیرد. به عبارت بهتر، الگوریتم مزبور جریان را در جهت‌هایی هدایت می‌کند که مضربی از ۴۵ درجه باشند (محمدی، ۱۳۹۶).

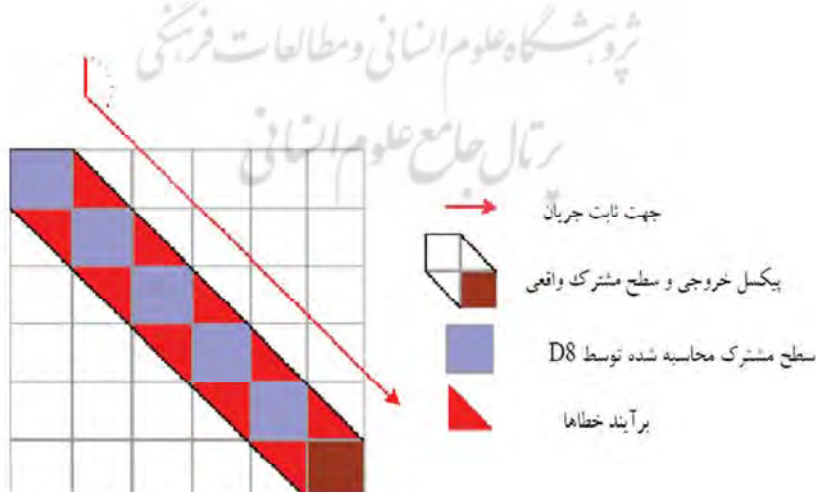
### ۲-۳-۲- الگوریتم جریان چندسویه MD8

این الگوریتم برای رفع محدودیت روش D8 مطرح شده است. در روش MD8، جریان به تمامی سلول‌های دارای ارتفاع کمتر از سلول مرکزی جریان می‌یابد. سهم هر سلول با توجه به میزان شبیه آن مشخص می‌شود و شبیه تمامی سلول‌های پایین‌دست محاسبه می‌شود و در تعیین امتداد جریان تأثیرگذار است. در روش D8، اختلاف ترازی ناچیز بین دو سلول همسایه تأثیر پررنگی در یکی از دو سلول، که تمامی جریان به آن وارد شده است، می‌گذارد. اما استفاده از روش MD8 تفاوت تراز تأثیرگذاری کمتری دارد زیرا هر دو سلول سهم یکسانی از سطح ابناشتگی جریان دارند. در عین حال، اشکال روش MD8 این است که جریان یک سلول به تمامی سلول‌های پایین‌دست جاری می‌شود و در نتیجه، زاویه پراکندگی جریان بسیار وسیع نیست. در این روش، سهم هر پیکسل از جریان براساس تابع وزن آن مشخص می‌شود (Quinn et al., 1991).

جریان سطحی براساس الگوریتم جریان چندسویه برای محیط GIS در نرم‌افزار الوس براساس عملیات همسایگی و ربطی تعریف و اجرا شد. در عملیات همسایگانش انجام گیرد. این عملیات در پنجره‌ای  $3 \times 3$  انجام می‌شود. در این پنجره، هر پیکسل یک شماره یا کد می‌گیرد و شماره‌گذاری از گوشة بالای سمت چپ پنجره آغاز می‌شود که پیکسل مرکزی است (طلالی و همکاران، ۱۳۹۳).

### ۲-۳-۳- الگوریتم جریان یکسویه D8

الگوریتم جریان یکسویه جریان را از هر سلول، فقط به یکی از هشت سلول همسایه، که دارای میزان شبیه O'Callaghan & Mark, (1984) است، هدایت می‌کند (Bishoffri است، ۱۳۹۳). روش D8 سریع‌ترین و ساده‌ترین روشی است که تا کنون درمورد انواع گوناگون مدل‌های رقومی ارتفاع به کار رفته است. این الگوریتم، به رغم همه ایرادهای ذاتی اش، به منزله الگوریتم ریدیابی جریان سطحی، در اغلب بسته‌های نرم‌افزاری استفاده می‌شود. در این روش محاسبه، جهت جریان تابع همسایه‌هاست و جریان هر سلول به یکی از هشت سلول مجاور خود می‌ریزد و یا آنها را تخلیه می‌کند. الگوریتم D8 چهار جهت



شکل ۴. خطای محاسبه سطح مشترک در الگوریتم D8

منبع: حیدری، ۱۳۸۸

تراکم‌زهکشی، رتبه آبراهه و میزان جابه‌جایی آبراهه‌ها با نقشهٔ واقعیت زمینی حاصل از گوگل ارث مقایسه شد. به همین منظور، مقایسه در نه پلاس  $1 \times 1$  کیلومترمربعی در نظر گرفته شده روی شبکه‌های زهکشی به دست آمده انجام شد. در نظر گرفتن مقیاس پلاس به این دلیل است که ارزیابی‌های بعدی مرتبط با شبکه آبراهه‌ای در سطح پلاس صورت گرفت.

**۵-۳- استخراج بعد فراکتال شبکه زهکشی منتخب**  
مقادیر بعد فراکتال در  $33 \times 33$  پلاس  $1 \times 1$  کیلومترمربعی سه سازند زمین‌شناسی کهر، گرانیت شیرکوه و آهک تفت به دست آمد. انتخاب اندازه پلاس  $1 \times 1$  کیلومترمربعی به این دلیل بود که بشود، با توجه به وسعت سازنده‌ای زمین‌شناسی در منطقه مورد مطالعه، میانگین دقیق‌تری از بعد فراکتال شبکه زهکشی به دست داد زیرا در اندازه‌های بیشتر، امکان حذف سازند زمین‌شناسی از روند مطالعاتی و انجام‌نشدن بررسی دقیق شبکه زهکشی وجود داشت. همچنین، در پلاس‌های با اندازه کمتر از  $1 \times 1$  کیلومترمربعی، امکان بررسی تمامی درجات آبراهه‌ها وجود نداشت و شکل کاملی از یک شبکه آبراهه حاصل نمی‌شد. با توجه به اینکه در مطالعه مورد اشاره سطح پلاس  $1 \times 1$  در نظر گرفته شده است، مقدار مجموع طول کل آبراهه‌ها همان تراکم زهکشی محسوب می‌شود. در هر سازند

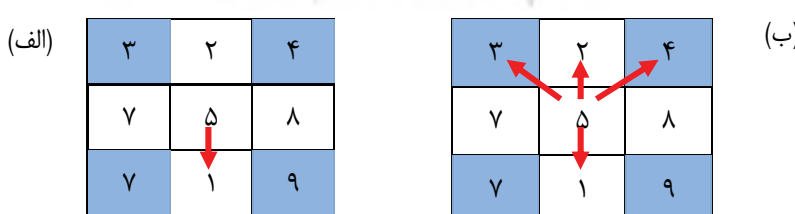
هولمن<sup>۱</sup> (۱۹۹۴) رابطه‌ای تجربی برای سهم سلول‌های پایین‌دست سلول مرکزی، براساس میزان شیب، پیشنهاد کرد (رابطه (۱)).

رابطه (۱)

$$F_i = \tan(\beta_i)^x / \sum_{j=1}^n \tan(\beta_j)^x \quad \tan(\beta) > 0$$

و ز جهت‌های جریان به سلول‌های همسایه  $\tan(\beta_1), \tan(\beta_2), \dots, \tan(\beta_n)$  نسبت جریان در جهت  $i$  و  $F_i$  میزان شیب بین سلول مرکزی و سلول واقع در جهت  $i$  است.  $X$  توان رابطه، فاکتور همگرایی است و ویژگی همگرایی و واگرایی جریان را تعریف می‌کند. با تغییر آن از  $0 \rightarrow \infty$ ، الگوریتم تعیین جهت جریان از MD8 به D8 تغییر می‌کند. هنگامی که این فاکتور برابر با ۱ باشد، توزیع جریان براساس الگوریتم جریان چندسویه خواهد بود اما، اگر مقدار این فاکتور به سمت بی‌نهایت میل کند و از  $10$  فراتر باشد، توزیع جریان براساس الگوریتم جریان یکسویه محاسبه می‌شود. به طور کلی، فاکتور همگرایی رابطه بین شیب و توزیع جریان را نشان می‌دهد (Freeman, 1991; Holmgren, 1994).

**۴-۳- مقایسه شبکه‌های زهکشی مستخرج از DEM**  
نقشه‌های خروجی به دست آمده از مدل‌های رقومی و الگوریتم‌های رایانه‌ای (جریان یکسویه و چندسویه) و نقشه‌های شبکه آبراهه‌ای استخراج شده از نقشه‌های توپوگرافی  $1/25000$  از لحاظ طول آبراهه،



شکل ۵. توزیع جریان یکسویه (SFD) (الف)، توزیع جریان چندسویه (MFD) (ب)

1. Holmgren

شباهت جزء به جزء تا بی‌نهایت ادامه می‌یابد. هریک از فراکتال‌ها درجات متفاوتی از خودتشابهی را پشتیبانی می‌کند. روش‌های گوناگونی برای محاسبه بعد فراکtal مطرح شده است که در این میان، روش شمارش جعبه‌ای، به دلیل توانایی محاسبه بعد فراکتالی تمامی عناصر و ابعاد و اشکال متفاوت و سرعت بالای محاسبات، معروف‌ترین روش است. علاوه‌بر این، الگوریتم آن قابلیت استخراج نتایجی با اطمینان بالا را فراهم می‌آورد. در این روش، شبکه‌ای از خانه‌های مربع‌شکل روی تصویر مورد نظر قرار داده می‌شود. اندازه شبکه با ۴ مشخص می‌شود که معیاری از مقیاس است. تعداد مربعاتی که هر بخش از منحنی مورد نظر را پوشش می‌دهند محاسبه می‌شود و به صورت مجازی، ضخامت خطوط شبکه صفر در نظر گرفته می‌شود. این کار برای مربع‌های دارای اضلاع گوناگون تکرار می‌شود. حدنهایی این بخش زمانی است که ۴ به صفر میل می‌کند. شمارش و حاصل این شمارش  $N\epsilon$  تعداد مربعات خواهد بود.

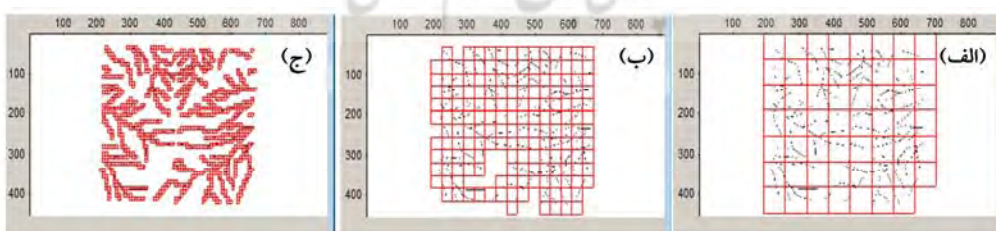
$$\text{رابطه (۲)} \quad D = \lim_{\epsilon \rightarrow 0} \frac{\log(N\epsilon)}{\log(1/\epsilon)}$$

مرحله بعد ترسیم مقادیر  $\log(N\epsilon)$  در مقابل  $\log(1/\epsilon)$  است. شیب خط مستقیم، که بهترین وجه اطلاعات را به نمایش می‌گذارد، تقریباً برابر با بعد فراکتال است. بنابراین، برای محاسبه بعد فراکتال، لازم است نمودار غیرخطی بعد فراکتال رسم شود. در این نمودار،

زمین‌شناسی، بعد فراکتال به روش شمارش جعبه‌ای<sup>۱</sup> با استفاده از نرم‌افزار Fractalyse محاسبه و با استفاده از روش ترسیمی (فخار ایزدی و همکاران، ۱۳۹۴)، تعداد پلات مورد نیاز در هر سازند مشخص شد؛ به این ترتیب که ابتدا، مقدار میانگین بعد فراکتال دو پلات محاسبه می‌شود و این روند میانگین دوتایی‌ها ادامه می‌یابد تا جایی که دیگر میانگین بعد فراکتال تغییری نداشته باشد و ثابت بماند. با رسم نمودار محل تغییر شیب، نقطه عطف نمودار کاملاً مشخص می‌شود و پس از آن، نقطه نمودار به مقدار ثابتی می‌رسد و بدون نوسان باقی می‌ماند و بهمنزله تعداد پلات مورد نیاز در نظر گرفته می‌شود. سپس، با مشخص شدن تعداد پلات مورد نیاز در هر سازند، میانگین بعد فراکتال در هر سازند بدست آمد (محمدی، ۱۳۹۶).

### ۱-۵-۳- بعد فراکتال

واژه «فراکتال» را مندلبرت<sup>۲</sup> در سال ۱۹۶۷، برای توصیف اشیای هندسی پیچیده، ابداع کرد که درجه بالایی از خودتشابهی دارند. «فراکتال» شکلی هندسی است که می‌توان آن را به بخش‌هایی تقسیم کرد که هریک از آنها کپی تعديل‌یافته‌ای، از لحاظ اندازه، از کل است. وقتی این اشیا بزرگ‌نمایی شوند، به نظر می‌رسد که بین اجزای آنها تشابه دقیقی برقرار است و این



شکل ۶. نحوه محاسبه بعد فراکتال شبکه زهکشی روی سازند کهر، با تغییر مقیاس اندازه جعبه ۸ (الف)؛ اندازه جعبه ۱۶ (ب)؛ اندازه جعبه ۳۲ (ج)

- 
- 1. Box Counting
  - 2. Mandelbrot

نتایج عددی حاصل از این نقشه‌ها شامل طول و تعداد آبراهه‌ها، در تعداد نه پلاس، در جدول‌های ۱ و ۲ آمده است. با توجه به نتایج، الگوریتم MD8 طول و تعداد آبراهه‌ها را بیشتر برآورد کرده است. با توجه به ابتدای بحث که اشاره شد، طول و تعداد آبراهه‌ها در الگوریتم MD8 نسبت به الگوریتم D8 بیشتر به دست آمده است. عامل این اختلاف را می‌توان ناشی از تعداد سلول‌های بیشتر الگوریتم MD8 نسبت به D8 بر روی مدل رقومی ارتفاع عنوان کرد. (شریفی‌کیا و همکاران، ۱۳۹۷). همچنین، مشخص شد که نتایج مدل رقومی استر و الگوریتم چندسویه، در برآورد مجموع طول و رتبه آبراهه‌ها، بسیار متفاوت با نتایج استر و الگوریتم یکسویه و SRTM و الگوریتم‌های یکسویه و چندسویه بوده است؛ در حالی که دقت دیگر نقشه‌ها، در نمایش ویژگی‌های توپوگرافی منطقه مورد مطالعه، نزدیک بهم است (جدول‌های ۱ و ۲). مقادیر برآوردهی نقشه‌ها، به سمت آبراهه‌های دارای رتبه‌های بیشتر، به هم نزدیک‌تر شدند.

محور x‌ها اندازه شبکه و محور y‌ها نشان‌دهنده نقاط موجود در هر مربع است. سپس این نمودار، با منحنی نظریه فراکتال، برازش داده می‌شود تا همبستگی میان دو نمودار به دست آید. طی این کار، همبستگی بین تعداد و اندازه شبکه نشان داده می‌شود.

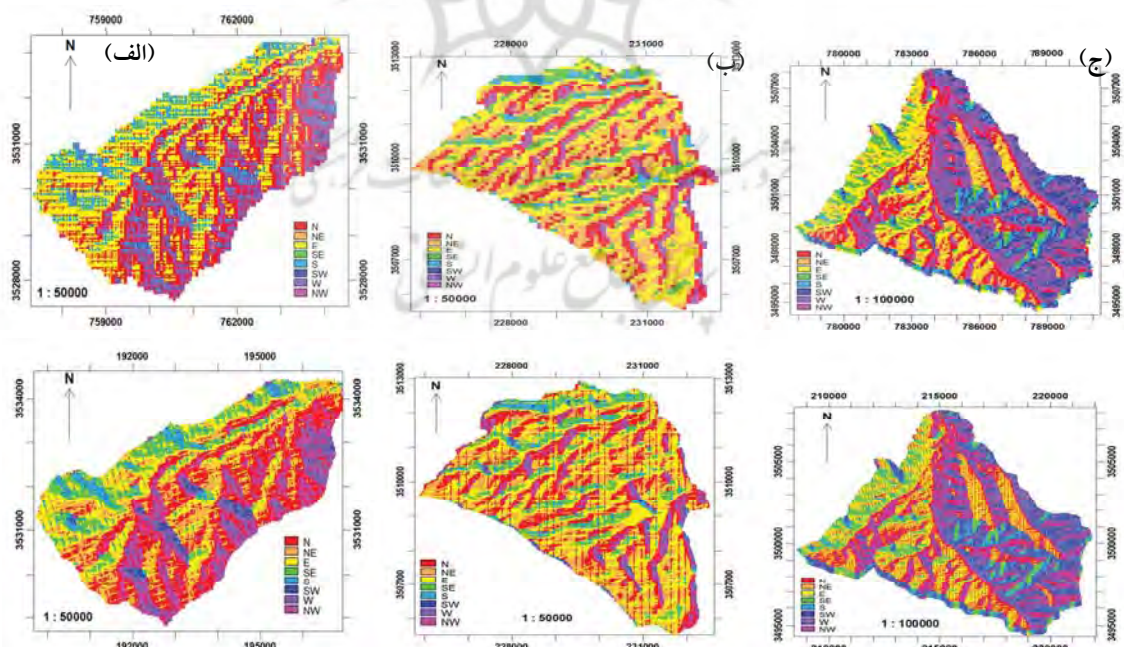
$$N = \varepsilon D + c \quad (3)$$

در این رابطه، D بعد فراکتال و یا همان همبستگی بعد و c ضریب ثابت است (Mandelbrot, 1983).

#### ۴- نتایج و بحث

##### ۴-۱- مسیریابی جریان روی DEM

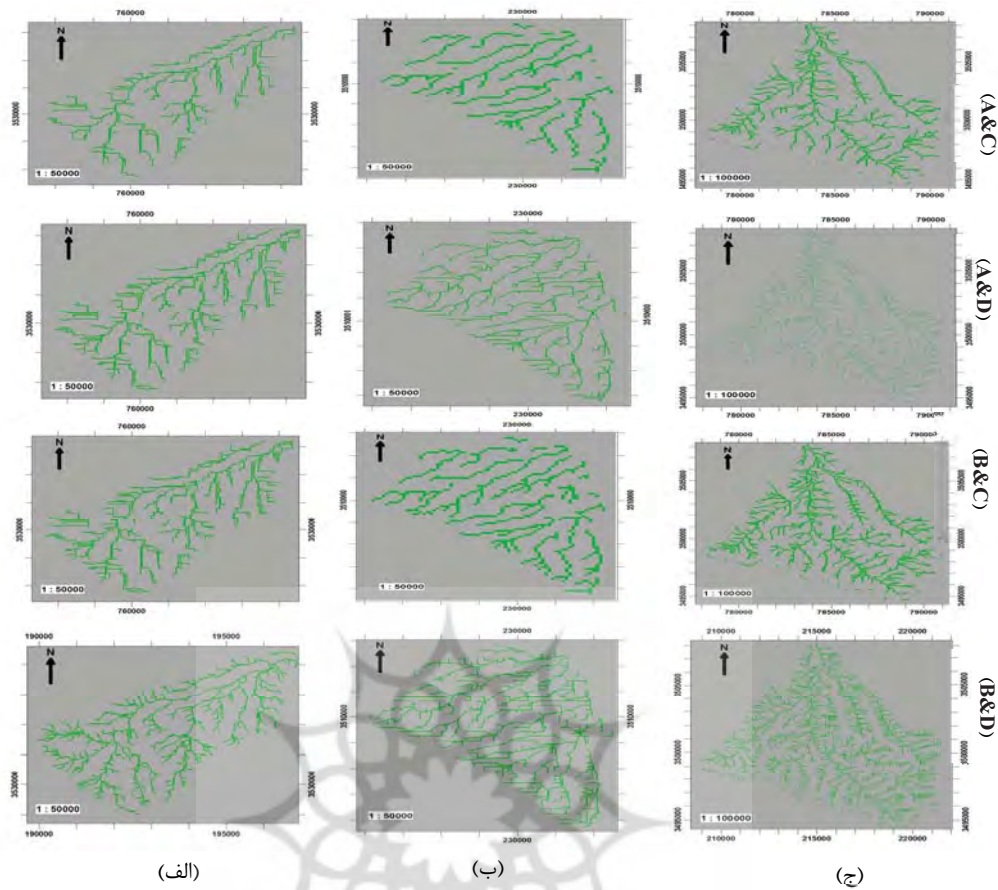
به منظور استخراج شبکه زهکشی، از مدل رقومی SRTM و استر و الگوریتم‌های جریان D8 و MD8 استفاده شد. براساس الگوریتم‌های جریان، نقشه جهت جریان (مقدار نسبی جریان خروجی از هر پیکسل در جهت اصلی)، نقشه تجمعی جریان و در نهایت، نقشه شبکه زهکشی حوضه‌های انتخابی روی سازندهای زمین‌شناسی کهر، آهک تفت و گرانیت شیرکوه، در محیط نرم‌افزار الویس، به دست آمد (شکل‌های ۷ و ۸).



شکل ۷. نقشه جهت جریان براساس الگوریتم جریان یکسویه

در مدل رقومی SRTM (بالا) و استر (پایین): سازند کهر (الف)؛ سازند آهک تفت (ب)؛ سازند گرانیت شیرکوه (ج)

دقت الگوریتم‌های جریان و DEM‌های استر (ASTER)، SRTM و ...



شکل ۸. نقشه شبکه زهکشی براساس الگوریتم جریان یکسویه (A) و جریان چندسویه (B) در مدل رقومی SRTM (C) و استر (D): سازند کهر (الف); سازند آهک نفت (ب); سازند گرانیت شیرکوه (ج)

جدول ۱. میزان طول و تعداد آبراهه‌های استخراج شده، با استفاده از الگوریتم جریان یکسویه

پلات	طول آبراهه	ASTER				SRTM			
		۱	۲	۳	۴	۱	۲	۳	۱
۱	طول آبراهه	-	۱۰۲۹	۱۳۴۵	۲۷۲۶	۲۵۷۳	-	۳۸۹	۲۱۸۴
۱	تعداد آبراهه	-	۱	۵	۱۹	۶	-	۱	۵
۲	طول آبراهه	-	-	۱۲۲۴	۳۰۸۸	۱۷۲۸	-	۲۴۲	۱۴۸۶
۲	تعداد آبراهه	-	-	۶	۹	۶	-	۱	۵
۳	طول آبراهه	-	۱۰۰۷	۱۱۰۱	۱۵۷۵	۲۱۹۳	-	۳۴۸	۱۸۴۵
۳	تعداد آبراهه	-	۳	۳	۷	۱۰	-	۱	۹
۴	طول آبراهه	-	۵۵۹	۱۷۷۱	۱۹۷۷	۲۱۴۲	-	۹۴	۲۰۴۸
۴	تعداد آبراهه	-	۱	۷	۹	۴	-	۱	۳
۵	طول آبراهه	-	۱۲۸	۳۳۱	۱۹۸۹	۲۳۸۶	۲۰۳	۴۶۳	۱۷۲۱
۵	تعداد آبراهه	-	۲	۳	۶	۱۲	۲	۲	۸
۶	طول آبراهه	۹۶	۱۲۵۷	۱۶۳۱	۲۹۱۸	۴۶۸۲	۹۰۹	۱۲۳۴	۲۵۳۹
۶	تعداد آبراهه	۱	۳	۷	۹	۹	۱	۲	۶
۷	طول آبراهه	-	۶۷۴	۱۴۱۲	۲۹۶۳	۳۲۳۱	۲۱	۵۷۳	۲۶۳۷
۷	تعداد آبراهه	-	۷	۴	۱۲	۱۳	۲	۳	۸
۸	طول آبراهه	۱۱۵	۷۶۱	۱۰۳۴	۳۳۰۷	۳۶۲۰	۴۶	۶۰۳	۲۹۷۱
۸	تعداد آبراهه	۲	۳	۲	۸	۲۰	۹	۲	۹
۹	طول آبراهه	-	۴۸۲	۹۷۵	۲۷۰۳	۳۲۱۳	۱۰۵	۱۰۰۷	۲۱۰۱
۹	تعداد آبراهه	-	۵	۳	۷	۱۳	۷	۱	۵

جدول ۲. میزان طول و تعداد آبراهه‌های استخراج شده، با استفاده از الگوریتم جریان چندسویه

پلات	SRTM										ASTER				
	جمع	۴	۳	۲	۱	جمع	۴	۳	۲	۱	۴	۳	۲	۱	۴
۱	طول آبراهه	-	۶۵	۱۶۳۴	۴۳۶۷	۴۰۰۲	۳۳	۲۰۸	۱۳۹۵	۲۳۶۶	۵۱	-	۲	۱۸	۳۱
۱	تعداد آبراهه	۲۲۳	۸۲۲	۱۴۲۰	۴۰۷۲	۳۰۱۰	-	۵۷	۸۴۶	۲۱۰۷	۶۵۴۷	-	۷	۱۱	۲۰
۲	طول آبراهه	-	۸۱	۱۳۴۵	۳۶۴۷	۲۱۱۷	-	-	۲۴۲	۱۸۷۵	۴۱	-	۹	۱۱	۲۶
۳	طول آبراهه	-	۱۰۶	۱۸۲۱	۲۴۹۱	۳۷۵۵	۱۱	۶۱۸	۱۸۴۲	۱۲۸۴	۴۴۱۸	-	۱	۷	۱۲
۴	طول آبراهه	-	۳۱۵	۱۷۵۳	۳۱۹۹	۲۹۹۶	-	۳۴	۸۱۵	۲۱۴۷	۵۲۶۷	-	۵	۵	۱۵
۵	طول آبراهه	-	۲۵۰	۱۸۷۳	۲۷۹۰	۲۵۶۲	-	۲۲۶	۲۷۱	۲۰۶۵	۴۹۱۳	-	۲	۱	۱۲
۶	طول آبراهه	-	۵	۵	۱۵	۱۳	-	۲	۲	۹	۲۵	-	۷	۱۴	۱۲
۷	طول آبراهه	-	۲۴۱	۸۱۷	۱۶۲۳	۳۶۸۷	-	۵۱	۹۰۲	۱۸۷۷	۶۳۶۸	-	۴	۱۱	۱۵
۸	طول آبراهه	-	۸۷	۱۶۳۱	۴۱۳۰	۲۹۱۱	-	۳۰۵	۲۴۸	۲۳۵۸	۵۸۴۸	-	۱	۵	۲۸
۹	طول آبراهه	۱۰۰۲	۱۶۹۸	۸۱۱	۳۷۵۴	۳۱۵۰	-	۵۵۴	۸۹۱	۱۷۰۵	۷۲۶۵	-	۱۴	۶	۹
	تعداد آبراهه	۳۷	۸	۱۴	۶	۹	-	۲	۴	۶					

به طوری که نقشه‌های توپوگرافی در برآورد مجموع طول و رتبه آبراهه‌ها در نه پلات انتخابی روی سه سازند زمین‌شناسی انتخابی، در مقایسه با دیگر نقشه‌ها، به ترتیب، در حدود ۱۰۰ و ۹۰٪ موفقیت‌آمیز عمل کرده است. عملکرد نقشه‌های توپوگرافی، در ارتباط با مقادیر طول و رتبه آبراهه، برای آبراهه‌های رتبه ۱، ۹۰٪ و برای سایر رتبه‌ها، در حدود ۷۰٪ برآورد شد. شایان ذکر است که از سیزده نقشه استخراجی، فقط نقشه‌های توپوگرافی تا رتبه ۵ شبکه زهکشی را مطابق نقشه واقعیت زمینی، نشان می‌دهند. به منظور مقایسه تفاوت بین نتایج شبکه‌های زهکشی استخراج شده و تعیین سطح معنی داری، آزمون تجزیه واریانس یک‌طرفه، با استفاده از نرم‌افزار SPSS، انجام شد. از آن جاکه سطح معنی داری از ۰.۰۵ کوچک‌تر است، با اطمینان ۰.۹۵، بین مقادیر طول آبراهه (تراکم زهکشی) و رتبه آبراهه‌ها اختلاف معنی دار وجود دارد.

۴-۲- مقایسه شبکه‌های زهکشی استخراج شده از DEM با توجه به کاربرد مدل‌های رقومی ارتفاع و نیاز به استفاده از آنها در مطالعات، لازم است صحبت‌شان بررسی شود. به همین منظور، برای تعیین شبکه زهکشی منتخب، نقشه‌های خروجی به دست آمده از نقشه‌های توپوگرافی ۱/۲۵۰۰۰ و دوازده نقشه شبکه زهکشی حاصل از الگوریتم‌های یک‌سویه و چندسویه و مدل‌های رقومی ارتفاع استر و SRTM، از حافظ طول آبراهه (تراکم زهکشی) و رتبه و میزان جایه‌جایی آبراهه‌ها، در تعداد نه پلات، در منطقه مورد نظر و با نقشه واقعیت زمینی مقایسه شد (جدول ۳). مقایسه سیزده نقشه شبکه زهکشی به دست آمده با نقشه واقعیت زمینی حاصل از گوگل ارث صورت گرفت. نتایج مقایسه نشان داد که کمترین اختلاف، چه در مقادیر طول آبراهه (تراکم زهکشی) و چه در رتبه آبراهه، متعلق به نقشه شبکه زهکشی به دست آمده از نقشه‌های توپوگرافی ۱/۲۵۰۰۰ است.

جدول ۳. مقایسه شبکه زهکشی استخراج شده از الگوریتم‌ها و مدل‌های رقومی، با نقشه واقعیت زمینی

پلاٹ	شبکه زهکشی استخراجی	رتبه ۱		رتبه ۲		رتبه ۳		رتبه ۴		رتبه ۵		جمع طول فراوانی
		طول فراوانی										
۱	توپوگرافی SRTM	۶	۱۲۰۷	-۳	-۳۲۹	۵	۶۴	۲	۱۰۷	-	-	۱۰ ۱۵۱۸
	یکسویه SRTM	۳۹	۴۸۳۰	۱۷	۱۷۸۰	-	-	-	-	-	-	۶۹ ۷۸۷۸
	استر یکسویه	۲۵	۴۲۸۸	۱۳	۸۲۴	۹	۵۳۳	-	-	-	-	۵۰ ۵۳۳۲
	چندسویه SRTM	۳۲	۴۶۴۸	۱۲	۷۷۴	۲	۸۸۵	۱	۱۴۳	-	-	۴۷ ۶۵۴۰
۲	استر چندسویه	۱۳	۲۶۴۷	۰	۵۳۵	۸	۱۰۲۸	-	-	-	-	۲۴ ۴۳۸۶
	توپوگرافی SRTM	۲	۶۸۷	-۱	-۲۹۹	-۳	-۴۲۵	۵	۱۴۱۳	-	-	۳ ۱۳۷۶
	یکسویه SRTM	۱۷	۳۷۳۹	۹	۱۱۰۴	-	-	-	-	-	-	۳۸ ۶۷۸۰
	استر یکسویه	۱۳	۲۱۳۷	۴	۱۲۲	-	-	-	-	-	-	۲۹ ۴۱۹۸
۳	چندسویه SRTM	۱۶	۳۱۱۸	۵	۵۰۰	۳	۲۴۷	-	-	-	-	۳۲ ۵۵۰۰
	استر چندسویه	۳	۱۱۵۳	-۲	-۷۴	-۳	-۵۱۸	۵	۱۴۰۲	-	-	۳ ۱۹۶۳
	توپوگرافی SRTM	۳	۴۶۲	-۵	۳۷۹	۵	-۱۲۰	-	-	-	-	۳ ۱۰۴۴
	یکسویه SRTM	۱۶	۲۰۲۴	۹	۱۵۰۹	-	-	-	-	-	-	۳۲ ۴۴۱۷
۴	استر یکسویه	۱۸	۲۲۹۴	۷	۷۵۶	۴	۲۱۳	-	-	-	-	۲۹ ۲۹۳۰
	چندسویه SRTM	۱۸	۱۹۹۴	۸	۱۶۱۵	-	-	-	-	-	-	۳۳ ۴۴۹۶
	استر چندسویه	-۱	۲۲۲	-۱	۵۱۲	-۲	۸۰۶	-	-	-	-	-۴ ۱۵۴۰
	توپوگرافی SRTM	۸	۵۸۸	۰	-۴۶۰	-۲	-۴۴	-	-	-	-	۶ ۴۴۰
۵	یکسویه SRTM	۱۷	۱۵۹۰	۶	۱۱۹۶	-	-	-	-	-	-	۲۷ ۳۱۶۵
	استر یکسویه	۱۱	۱۶۶۱	۰	-۴۸۱	۳	-۱۷۶	-	-	-	-	۱۴ ۱۰۰۴
	چندسویه SRTM	۱۳	۲۳۵۴	۴	-۵۲۲	۳	-۲۲۵	-	-	-	-	۱۹ ۱۵۵۶
	استر چندسویه	۹	۱۱۴۷	۰	-۵۳۱	۳	۲۷۷	-	-	-	-	۱۱ ۸۹۳
۶	توپوگرافی SRTM	۳	۱۸۴	۳	۱۸۵	۰	-۱۸۵	-	-	-	-	۷ ۱۸۴
	یکسویه SRTM	۷	۶۵۵	۱۰	۱۶۸۵	۱	۴۵۶	-	-	-	-	۱۷ ۲۷۹۱
	استر یکسویه	۹	۳۸۷	۹	۱۸۱۷	۱	۵۳۱	-	-	-	-	۱۸ ۲۷۳۵
	چندسویه SRTM	۶	۳۱۱	۱۰	۱۸۷۷	۱	۴۳۳	-	-	-	-	۱۶ ۲۶۲۱
۷	استر چندسویه	۴	-۴۱۴	-۴	۲۷۵	۷	۴۰۹	-	-	-	-	۴ ۲۷۰
	توپوگرافی SRTM	۵	۲۴۱	-۳	۱۲۱	۳	۶۵۲	۲	۲۱۴	۰	۷۴۳	۷ ۱۷۰۵
	یکسویه SRTM	۱۷	۱۰۰۱	۷	-۳۶۰	۱۰	۱۰۰۰	-	-	-	-	۴۰ ۴۰۰۵
	استر یکسویه	۱۴	۶۲۲	۲	-۲۷۶	۸	۸۸۴	۴	۹۵۱	-	-	۲۹ ۲۷۹۱
۸	چندسویه SRTM	۱۶	۱۳۹۳	۶	۵۴۰	۹	۱۸۷۵	-	-	-	-	۳۷ ۵۶۹۷
	استر چندسویه	۶	۴۸۵	-۷	-۳۹۸	۴	۱۵۹۴	-	-	-	-	۹ ۳۴۲۶
	توپوگرافی SRTM	۸	۱۱۴۶	-۳	-۱۵۱۷	۱	۹۱۴	-	-	-	-	۶ ۵۴۳
	یکسویه SRTM	۲۳	۲۹۷۵	۵	۶۵۲	۸	۱۵۵۴	-	-	-	-	۳۶ ۵۱۷۴
۹	استر یکسویه	۱۹	۲۶۴۹	۴	-۱۸۷	۳	۹۰۱	-	-	-	-	۲۶ ۳۲۶۳
	چندسویه SRTM	۲۳	۳۷۳۵	۶	۳۲۳	۷	۱۵۲۴	-	-	-	-	۳۶ ۵۵۸۲
	استر چندسویه	۱۶	۱۹۲۵	-۵	-۳۹۸	۶	۷۵۸	-	-	-	-	۱۴ ۲۰۴۴
	توپوگرافی SRTM	۵	۱۹۷	۱۱	۱۳۴۲	-۶	۶۶	۱	۱۵۴	-	-	۱۲ ۱۷۵۹
۸	یکسویه SRTM	۲۴	۲۲۳۷	۲۷	۱۸۰۳	-۸	۸۷	-	-	-	-	۴۶ ۴۴۲۵
	استر یکسویه	۲۵	۱۹۰۱	۲۷	۱۳۷۲	-۲	-۶۲۸	۲	۱۹۱	-	-	۵۱ ۲۸۳۶
	چندسویه SRTM	۲۸	۲۸۵۰	۲۶	۲۱۵۸	۰	-۱۷۲	-	-	-	-	۵۷ ۵۱۴۲
	استر چندسویه	۷	۱۰۷۸	۲۴	۷۷۵	۰	۴۶	-	-	-	-	۳۲ ۲۲۰۵
۹	توپوگرافی SRTM	۱۱	۱۰۰۳	۰	۱۷۳	-۲	-۱۱۷	-	-	-	-	۹ ۱۰۵۹
	یکسویه SRTM	۲۸	۳۹۷۱	۱۵	۹۴۹	۳	۶۷۲	-	-	-	-	۴۶ ۵۵۸۳
	استر یکسویه	۲۶	۳۳۶۹	۱۳	۹۸۱	۵	۲۹۵	-	-	-	-	۴۴ ۴۶۴۵
	چندسویه SRTM	۲۷	۴۳۶۷	۱۲	۱۰۶۵	۸	۲۲۳	-	-	-	-	۴۷ ۵۶۵۵
	استر چندسویه	۲۴	۲۳۱۸	۱۰	۱۱۴۵	-۴	-۹۲۱	-	-	-	-	۲۲ ۱۵۴۰

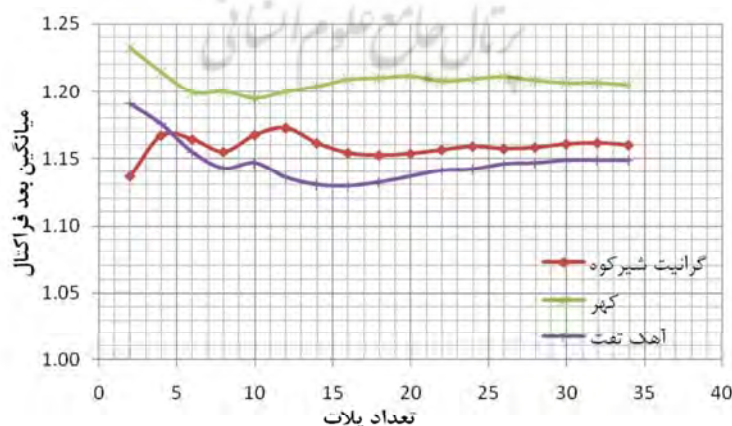
طول آبراهه‌ها کاهش می‌باید و در مناطق با شیب بالا، داده‌های رقومی ارتفاع تطابق کمتری با واقعیت نشان می‌دهند. این مسئله در داده رقومی ارتفاع SRTM به دلیل تفاوت زیاد در قدرت تفکیک مکانی، مشهودتر است (Gorokhovich & Voustianiouk, 2006; Jacobsen & passini, 2010; Szabó et al., 2015 (فاطمی و علیزاده نائینی, ۱۳۹۶). نکته بسیار مهم دیگر میزان جایه‌جایی شبکه‌های آبراهه، در مقایسه با شبکه زهکشی واقعیت زمینی، است که در مدل رقومی ارتفاع استر، به طور میانگین، ۷۸ متر و در مدل رقومی ارتفاع SRTM در حدود ۴۰ متر است. درواقع، نتایج داده‌های SRTM در پژوهش حاضر، برخلاف سایر بررسی‌ها (Li & Wong, 2010; Lajsaini et al., 2018; Huggel et al., 2008; Thomas et al., 2014)، فقط در روندیابی شاخه اصلی شبکه زهکشی عملکرد مناسبی نشان داد. میزان جایه‌جایی در شبکه آبراهه حاصل از نقشه توپوگرافی ۱۰ متری (۱/۲۵۰۰۰) حدود ۵ به دست آمد. بنابراین، نتایج این پژوهش، به ویژه موفق‌نشدن در روندیابی رتبه‌های ۱ و طول آبراهه، نشان‌دهنده اهمیت فراوان تجزیه و تحلیل داده‌های رقومی به کارفته برای انتخاب داده مناسب در مدل‌سازی شبکه زهکشی است. نتایج کاربرد الگوریتم‌های جریان یکسویه و جریان چندسویه نشان داد که الگوریتم جریان چندسویه، در مقایسه با الگوریتم جریان یکسویه، در روندیابی جریان بهتر عمل کرده است که تأثیر توپوگرافی سطح در روندیابی جریان سطحی را می‌رساند. هرچند اغلب نرم‌افزارهای موجود، به دلیل سادگی و حجم کم محاسبات، از الگوریتم جریان یکسویه استفاده می‌کنند؛ این الگوریتم توانایی لازم را برای شبیه‌سازی جریان، به ویژه در مناطق با توپوگرافی متغیر، دارد. بنابراین، برای استخراج شبکه زهکشی از DEM‌ها، توصیه می‌شود الگوریتم ساده D8، به دلیل خطاهای زیاد، با الگوریتم چندسویه جایگزین شود (Chen et al., 2012). نتایج حاصل از روندیابی جریان سطحی در حوضه زوجی کاخک (طالبی و

پس از نقشه‌های توپوگرافی ۱/۲۵۰۰۰، مدل رقومی استر و الگوریتم چندسویه و استر و الگوریتم یکسویه دقیق نزدیک به واقعیت زمینی نشان می‌دهند. در مجموع، طول آبراهه در نه پلات انتخابی، دقت استر و الگوریتم چندسویه پس از نقشه‌های توپوگرافی قرار می‌گیرد و در مورد مقادیر مجموع تعداد آبراهه، استر و الگوریتم یکسویه برآورد مناسبی از خود نشان دادند. به طور کلی، دقت برآوردهای استر و الگوریتم چندسویه مناسب‌تر از نقشه‌های دیگر به نظر می‌رسد. اما با اینکه الگوریتم چندسویه جزئیات بیشتری را از شبکه زهکشی نشان می‌دهد؛ از نظر تعداد رتبه‌های آبراهه، با نقشه واقعیت زمینی تفاوت دارد. تطابق‌نداشت، به ویژه، در آبراهه‌های رتبه ۱ بیشتر نمایان است. همچنین، با اینکه مدل رقومی استر، در رتبه‌های ۲ و ۳، طول آبراهه را بهتر برآورد کرده است؛ این نتایج با نقشه واقعیت زمینی تطابق ندارد. نتایج پژوهش حاضر مشابه با بررسی DEM‌های متفاوت، با استفاده از تحلیل پارامترهای مورفومتریک آبراهه در حوزه آبخیز سوپین آپر است. نتایج این بررسی نیز نشان داد که DEM‌های مستخرج از نقشه‌های توپوگرافی ۱/۵۰۰۰۰ و استر، در استخراج شبکه آبراهه، دقیق بیشتر از مدل رقومی SRTM دارد (Das et al., 2016). اما نتایج حوزه آبخیز هند (Thomas et al., 2014) و مدل‌سازی فرایند (Huggel et al., 2008) لاهار در آتشفسانی در مکزیک (Huggel et al., 2008) حاکی از این است که داده‌های سنجنده استر و SRTM نمایش تقریباً یکسانی از وضعیت پستی و بلندی منطقه دارند و با مدل رقومی ارتفاع ۲۰ متری مطابق‌اند. این در حالی است که در پژوهش پیش رو، نقشه‌های توپوگرافی با مقیاس ۱/۲۵۰۰۰ (مدل رقومی ارتفاع ۰ متری)، در مقایسه با داده‌های سنجنده استر و SRTM، بهترین انطباق را با نقشه واقعیت زمین نشان داد. در این میان، مدل رقومی SRTM و الگوریتم‌های رایانه‌ای عملکرد مناسبی نداشتند. دلیل آن را می‌توان ماهیت کوهستانی منطقه دانست؛ چرا که در شبکه‌ای زیاد، دقت مدل‌های رقومی ارتفاع در برآورد تعداد و

### ۳-۴- بعد فراکتال

از عوامل مؤثر در شکل‌گیری نوع الگوی شبکه زهکشی در هر منطقه متغیرهای زمین‌شناسی است که به‌آسانی کمی‌سازی نمی‌شوند. با توجه به این نکته، میزان بعد فراکتال ۳۳ پلات  $1 \times 1$  کیلومترمربعی، به صورت تصادفی-سیستماتیک، در سه سازند کهر و گرانیت شیرکوه و آهک تفت، محاسبه شد. با توجه به نتایج، تعداد پلات لازم، به ترتیب، برای سازند کهر و گرانیت شیرکوه و آهک تفت، ۱۶ و ۲۲ و ۲۶ عدد به دست آمد (شکل ۹). شایان توجه است که با توجه به لیتوژوژی سازندها، الگوی شبکه زهکشی مشاهده شده روی هر سه سازند زمین‌شناسی الگوی شاخه‌درختی است. بیشترین و کمترین بعد فراکتال، به ترتیب، در سازندهای کهر و تفت به دست آمد. سازند کهر، از نظر فرسایش‌پذیری، فرسایش‌پذیرترین از میان این سه سازند محسوب می‌شود و میانگین بعد فراکتال آن ۱.۰۷ است که بیشترین میزان بعد فراکتال محسوب می‌شود (جدول ۴). میزان حساسیت به فرسایش در سازند کهر، که تنایوی از شیل و ماسه‌سنگ است، با روش پسیاک (محمدی، ۱۳۹۶)، عدد ۸ بوده است؛ بنابراین، در طبقه حساس به فرسایش قرار می‌گیرد. عدد حساسیت به فرسایش دو سازند گرانیت شیرکوه و آهک تفت نیز، با روش پسیاک، ۳ محاسبه شد.

همکاران، (۱۳۹۳)، شبیه‌سازی رواناب روزانه در مدل TOPPMODEL (Bhawan, 2001) و پیمایش جریان (Huang & Lee, 2016) نیز نشان داد جریان چندسوسیه، به‌دلیل تعریف عامل همگرایی که تحت تأثیر مستقیم توپوگرافی سطحی و تحدب و تقرع دامنه‌ها قرار دارد، مناسب‌تر است. اما روندیابی رودخانه‌های فصلی در حوضه کارون، از میان انواع الگوریتم‌های مورد استفاده، الگوریتم D8 را به عنت سادگی و نداشتن پراکندگی جریان، نشان داد (حیدری، ۱۳۸۸). این بیان می‌کنند هنوز استخراج دقیق شبکه‌های زهکشی از مدل‌های رقومی ارتفاع و الگوریتم‌های رایانه‌ای به صورت چالش مانده است (Metz et al., 2011). در ادامه پژوهش، از شبکه زهکشی حاصل از نقشه‌های توپوگرافی ۱/۲۵۰۰۰، برای محاسبه بعد فراکتال شبکه زهکشی در سه سازند زمین‌شناسی کهر و آهک تفت و گرانیت شیرکوه، استفاده شد زیرا میزان تطابق نقشه‌های توپوگرافی ۰.۱۰۰۰ (۱/۲۵۰۰۰) با واقعیت زمینی بسیار بالاست و در مقایسه با عملکرد مدل‌های رقومی ارتفاع در استخراج شبکه آبراهه، دقت مطلوبی دارد. میزان جابه‌جایی، در شبکه آبراهه حاصل از نقشه توپوگرافی ۰.۱۰۰۰، در حدود ۵ به دست آمد؛ میزان دقت آن در مقادیر طول آبراهه (تراکم زهکشی) و رتبه‌های آبراهه نیز مورد قبول است.



شکل ۹. تغییرات بعد فراکتال با تعداد پلات منتخب از هر سازند

رفتار کارستیک سازند آهک تفت و تأثیر انحلال و فرسایش در دوره‌های گذشته منجر به تشکیل آبراهه‌هایی با ابعاد و زوایای متنوع، در مقایسه با دو سازند کهر و گرانیتی، شده است که از فعالیت‌های فرسایشی متأثرند و به همین علت، دامنه تغییرات در سازند آهک تفت بیشتر است. به منظور مقایسه تقاضات بین میانگین بعد فراکتال سه سازند زمین‌شناسی و تعیین سطح معنی‌داری نتایج، از آزمون تجزیه واریانس یک‌طرفه، با استفاده از نرم‌افزار SPSS، بهره گرفته شد. چون سطح معنی‌داری از ۰.۰۱ کوچک‌تر است، با اطمینان ۰.۹۹، بین میانگین بعد فراکتال سه سازند آهک تفت، گرانیت شیرکوه و سازند کهر اختلاف معنی‌دار وجود دارد. عدد رتبه آبراهه در سازند کهر تا ۶ می‌رسد اما، در سازند گرانیت و تفت، شبکه آبراهه، به ترتیب، تا رتبه ۴ و ۵ گسترش یافته است زیرا در سازندهای سست، به دلیل فرسایش پذیری بالا، تراکم شکستگی‌ها بیشتر است و شبکه آبراهه‌ای متراکم شکل می‌گیرد (جدول ۵). همچنین، نتایج نشان داد ارتباط بین بعد فراکتال و تراکم زهکشی در سازندهای زمین‌شناسی در سطح اطمینان ۹۵٪ معنی‌دار است. بنابراین، می‌توان ادعا کرد که مقدار بعد فراکتال متأثر از جنس سازندها و ضریب فرسایش پذیر است.

بنابراین، دلیل بالابودن میزان بعد فراکتال سازند کهر فرسایش‌پذیری و سن بالای آن است (هرچه سن سازند بیشتر باشد، به علت تحمل تنש‌های بیشتر و توزیع متفاوت محلی آن، تراکم آبراهه بیشتری دارد) که منجر به تشکیل شبکه آبراهه متراکم با شاخمه‌ای متعدد شده است. دلیل مقدار پایین بعد فراکتال در سازند آهک تفت را می‌توان همگنی موجود در این سازند و مقاومت بالای آن در برابر فرسایش دانست. با توجه به وضعیت اقلیمی منطقه و قرارگیری آن در شرایط خشک و سرد، سازند گرانیت شیرکوه دارای مقاومتی کمتر از آهک تفت و مستعد هوازدگی است. هوازدگی شدید در این سازند به صورت پدیده دانه‌دانه شدن و تولید مواد رسوبی ریزدانه دیده می‌شود. این عامل چه بسا دلیل پایین‌بودن میانگین بعد فراکتال سازند گرانیت شیرکوه در مقایسه با سازند آهک تفت باشد.

نکته مهم دیگر هم خوانی و مطابقت تعداد پلات مورد نیاز و دامنه تغییرات بعد فراکتال در این سه سازند است؛ به طوری که با افزایش دامنه تغییرات، تعداد پلات نیز آهنگ افزایشی دارد. کمترین دامنه تغییرات مربوط به سازند کهر است که کمترین تعداد پلات (۱۶ پلات) را برای محاسبه میانگین بعد فراکتال، لازم دارد. اما بیشترین دامنه تغییرات متعلق به سازند آهک تفت، با بیشترین تعداد پلات (۲۶ پلات)، است.

جدول ۴. مقادیر آماری بعد فراکتال در سه سازند زمین‌شناسی

سازند	حداقل	حداکثر	میانگین	دامنه تغییرات	تعداد پلات
کهر	۱.۲	۱.۳	۱.۲۰۷	۰.۱۴	۱۶
گرانیت شیرکوه	۱.۰۷۳	۱.۲۲	۱.۱۶۱	۰.۱۵	۲۲
آهک تفت	۱.۰۴۶	۱.۲۰۷	۱.۱۴۹	۱.۱۶۱	۲۶

جدول ۵. طول و رتبه شبکه زهکشی روی سه سازند زمین‌شناسی

	طول رتبه						تعداد رتبه						سازند
	۱	۲	۳	۴	۵	۶	۱	۲	۳	۴	۵	۶	
تفت	-	-	۶۴۲	۹۰۷	۱۶۹۲	۴۸۰۶	۴۱	-	-	۵	۷	۱۰	۲۲
گرانیت	-	۵۵۶	۹۳۳	۹۰۲	۱۴۵۱	۵۳۶۰	۴۹	-	۳	۸	۸	۱۱	۲۷
کهر	۵۴۵	۶۲۷	۹۴۵	۱۲۸۲	۱۶۰۳	۶۱۲۴	۶۹	۳	۴	۷	۱۱	۱۵	۳۵

زهکشی بیشتر است. درواقع، تعداد انشعابات از رتبه‌های متفاوت، سطح و طول این انشعابات از رابطه توانی و فراکتالی پیروی می‌کند (Kusák, 2014) (علمی‌زاده و همکاران، ۱۳۹۳).

## ۵- نتیجه‌گیری

انتخاب نوع داده و الگوریتم مناسب، دسترسی به داده‌های با کیفیت در مقیاس منطقه‌ای و خطاهای DEM در استخراج شبکه زهکشی از مضلات اصلی ژئومورفولوژیست‌ها و هیدرولوژیست‌هاست زیرا دقته وضوح DEM، در مقیاس منطقه‌ای، تأثیرات جدی در عملکرد موقیت‌آمیز انواع مدل‌ها دارد. نتایج پژوهش حاضر نشان داد که نقشه‌های توپوگرافی ۱/۲۵۰۰۰، در برآورد طول و رتبه آبراهه‌ها، موقیت‌آمیزتر از دیگر نقشه‌ها عمل کرده است. پس از نقشه‌های توپوگرافی ۱/۲۵۰۰۰، مدل رقومی استر و الگوریتم چندسویه و استر و الگوریتم یکسویه دقته نزدیک به واقعیت زمینی نشان می‌دهند. اما، با اینکه الگوریتم چندسویه جزئیات بیشتری از شبکه زهکشی را نشان می‌دهد، از نظر تعداد رتبه‌های آبراهه، با نقشه واقعیت زمینی تفاوت دارد و تطابق‌نداشت، بهطور ویژه، در آبراهه‌های رتبه ۱ بیشتر نمایان است. نتایج این پژوهش تأیید‌کننده این نکته است که استخراج شبکه زهکشی از مدل‌های رقومی ارتفاع برای مطالعات مقدماتی در حوزه آبخیز مناسب است. در تحقیقات تخصصی، که نیاز به داده دقیق و نزدیک به واقعیت زمینی است، استفاده از عکس‌های هوایی بزرگ‌مقیاس و تصاویر ماهواره‌ای توصیه می‌شود. نتایج پژوهش حاضر، به خصوص موقیت‌نداشت در روندیابی رتبه‌های ۱ و طول آبراهه، نشان‌دهنده اهمیت بالای تجزیه و تحلیل داده‌های رقومی مورد استفاده برای انتخاب داده مناسب در محاسبه بعد فراکتال شبکه زهکشی است؛ چرا که بعد فراکتال حساسیت بسیار زیادی در برابر شرایط اولیه دارد و با کمترین تغییر در شرایط شبکه زهکشی،

بیشترین طول آبراهه (تراکم زهکشی) متعلق به سازند کهر است. تراکم زهکشی یکی از مهم‌ترین پارامترهای ژئومورفولوژیکی حوزه آبخیز است که اغلب از آن به منزله شاخصی برای بیان وضعیت شبکه زهکشی استفاده می‌شود. درواقع، با بیشترشدن طول آبراهه (تراکم زهکشی)، میزان بعد فراکتال نیز افزایش می‌یابد. این در حالی است که مجموع طول کل آبراهه‌ها در سازند آهک تفت، به جز در رتبه ۲، تفاوت زیادی با سازند گرانیت و کهر ندارد. طول بلند آبراهه‌ها از ویژگی‌های سازندهای آهکی به شمار می‌رود. اما، با وجود این ویژگی، مقدار بعد فراکتال در سازند آهک تفت کمتر از دو سازند دیگر است که این ناشی از اندک‌بودن تعداد آبراهه رتبه ۱ و عدد رتبه آبراهه است؛ خود این نکته اهمیت حضور و تراکم آبراهه‌های رتبه ۱ را در مقدار عددی بعد فراکتال شبکه نشان می‌دهد. یکی از ویژگی‌های نظریه فراکتال حساسیت بسیار زیاد به شرایط اولیه است؛ بهطوری که با کوچک‌ترین تغییر در شرایط شبکه زهکشی، تغییرات بزرگی در مقادیر بعد فراکتال کل شبکه ایجاد می‌شود. این نکته در نتایج این پژوهش به روشنی نشان داده شد؛ به این ترتیب که تعداد بالای آبراهه‌های رتبه ۱ در شبکه‌های زهکشی روی سازند کهر، برخلاف سازند آهک تفت، مقادیر بالای بعد فراکتال را به همراه داشته است. نتایج پژوهش حاضر منطبق بر نتایج دیگر پژوهش‌های انجام‌شده در زمینه تحلیل فراکتالی شبکه زهکشی است. یافته‌های آن تحقیقات نیز نشان داد که بین بعد فراکتال و حساسیت سازندهای زمین‌شناسی ارتباط معنی‌داری وجود دارد و با افزایش حساسیت سنگ‌شناسی و به تبع آن، تراکم زهکشی، عدد فراکتال افزایش می‌یابد و در سازندهای دارای حساسیت بیشتر، تغییرات تراکم شبکه زهکشی بیشتر از سازندهای مقاوم بوده است (علمی‌زاده و همکاران، ۱۳۹۳؛ علیرادی و همکاران، ۱۳۹۷؛ ایلدرمی و سپهری، ۱۳۹۷؛ محمدی و همکاران، ۱۳۹۸) (Hui & Changxing, 2017). همچنین، بررسی‌ها نشان داد بعد فراکتالی بالا معرف تراکم

بعد فرکتال شبکه زهکشی (مطالعه موردي: دامنه‌های شمالی همدان)، پژوهش‌های ژئومورفولوژی کمی، دوره ششم، شماره ۴، صص. ۷۰-۸۷.

حسینزاده، ر، جهادی طرقی، م، ۱۳۸۹، ارزیابی دقت مدل‌های رقومی ارتفاع DEM و الگوریتم‌های GIS در تحلیل‌های مورفومتری رودخانه‌ای، مجله جغرافیا و توسعه ناحیه‌ای، شماره ۱۴، صص. ۲۱۲-۱۸۳.

حیدری، ع، ۱۳۸۸، مسیریابی جریان با استفاده از الگوریتم جدید MODir8، پایان‌نامه کارشناسی ارشد، دانشگاه باهنر کرمان.

خرسروی، ع، سپهر، ع، عبدالله‌زاده، ز، ۱۳۹۵، رفتار فرکتالی و ارتباط آن با خصوصیات هیدرومورفومتری حوضه‌های آبریز دامنه شمالی بینالود، هیدرومورفولوژی، دوره سوم، شماره ۹، صص. ۱-۲۰.

رضائی‌مقدم، م، احمدی، م، ۱۳۸۵، تحلیل ژئومورفولوژی کمی الگوی زهکشی شبکه آبراهه‌ای به کمک زاویه برخورد آن‌ها در زیرحوضه سریاس، استان کرمانشاه، فصلنامه تحقیقات جغرافیایی، شماره ۸۱، صص. ۸۴-۹۸. شریفی‌کیا، م، شایان، س، یمانی، م، عرب‌عامری، ع، ۱۳۹۷، استخراج الگوی زهکشی دامنه‌ها در نواحی فشرده جنگلی جنوب بهشهر با استفاده از داده‌های فرکانس پایین راداری، پژوهش‌های ژئومورفولوژی کمی، سال هفتم، شماره ۲، صص. ۲۰۹-۲۲۳.

طالبی، ع، عشقی‌زاده، م، دستورانی، م، عظیم‌زاده، ح، ۱۳۹۳، بررسی تأثیر عملیات آبخیزداری بر توزیع جریان سطحی با استفاده از معرفی الگوریتم توزیع جهت متعدد، اکوهیدرولوژی، شماره ۲، صص. ۸۳-۹۷.

مقادیر بعد فرکتال شبکه تغییر می‌کند. از این‌رو، انتخاب شبکه زهکشی، که به واقعیت زمینی نزدیک باشد، بسیار مهم است. این نکته به خوبی در نتایج این پژوهش نشان داده شد؛ به این ترتیب که تعداد بالای آبراهه‌های رتبه ۱ در شبکه‌های زهکشی روی سازند که، برخلاف سازند آهک تفت، مقادیر بالای بعد فرکتال را به همراه داشته است. میانگین بعد فرکتال ۱.۱۶۱ نشان‌دهنده سازند آهک تفت، میانگین بعد فرکتال ۱.۱۶۱ مختص سازند گرانیت و مقدار ۱.۲۰۷ متعلق به سازند کهر است. بیشترین مقدار عددی بعد فرکتال در سازند فرسایش‌پذیر کهر (۱.۲۷۹) و کمترین آن در سازند مقاوم تفت (۱.۰۴۶) به دست آمد که بیان می‌کند، با افزایش حساسیت سنگ‌شناسی و به تبع آن، تراکم زهکشی، بعد فرکتال نیز افزایش می‌یابد. مقادیر به دست آمده از بعد فرکتال تفاوت در مقاومت به فرسایش سه سازند را به خوبی نشان می‌دهد. بنابراین، مقدار بعد فرکتال متأثر از جنس سازندها و ضریب فرسایش‌پذیری است. درواقع، تحلیل ابعاد فرکتال امکان بررسی سریع و بادقتی را از ویژگی‌های فرسایشی و حساسیت به فرسایش سازندهای منطقه مورد مطالعه، امکان‌پذیر می‌کند. این نتایج می‌تواند درک مناسبی از وضعیت فرسایشی و ژئومورفولوژیکی به دست دهد. از این‌رو، بعد فرکتال را می‌توان ابزاری مفید و کارآمد برای مدیریت حوزه‌آبخیز در نظر گرفت.

## ۶- منابع

- آفاطاهر، ر، صمدی، م، لعلی‌نیت، ا، نجفی، ا، ۱۳۹۴، ارزیابی مقایسه‌ای صحت ارتفاعی مدل‌های رقومی ارتفاعی SRTM و ASTER، فصلنامه علمی-پژوهشی اطلاعات جغرافیایی سپهر، دوره ۲۵، شماره ۹۹، صص. ۱۱۳-۱۰۳. ایلدرمی، ع، سپهری، م، ۱۳۹۷، فرسایش‌پذیری سازندهای زمین شناسی با استفاده از تحلیل

- مروج، ک.، دلاور، م.، صادق‌بیگی، ا.، ۱۳۹۴، اهمیت انتخاب مدل رقومی ارتفاعی مناسب در مدیریت و حفاظت منابع خاک و آب (مطالعه موردی: سد تهم، استان زنجان)، *تحقیقات کاربردی خاک*، جلد سوم، شماره ۲، صص. ۴۲-۵۴.
- Ali, A.M., Solomatine, D. & Di Baldassarre, G., 2015, *Assessing the Impact of Different Sources of Topographic Data on 1-D Hydraulic Modelling of Floods*, *Hydrology and Earth System Sciences*, 19, PP. 631-643.
- Bhawan, V.J., 2001, *Comparison of Single and Multiple Flow Direction Algorithm for Computing Topographic Parameters in TOPMODEL*, National Institute of Hydrology, Roorkee, India.
- Chen, Y., Wilson, J.P., Zhu, Q. & Zhou, Q., 2012, *Comparison of Drainage-Constrained Methods for DEM Generalization*, *Computers & Geosciences*, 48, PP. 41-49.
- Costa-Cabral, M.C. & Burges, S.J., 1994, *Digital Elevation Model Networks (DEMON): A Model of Flow over Hillslopes for Computation of Contributing and Dispersal Areas*, *Water Resources Research*, 30, PP. 1681-1692.
- Das, S., Pravin Patel, P. & Senqupta, S., 2016, *Evaluation of Different Digital Elevation Models for Analyzing Drainage Morphometric Parameters in a Mountainous Terrain: A Case Study of the Supin–Upper Tons Basin, Indian Himalayas*, Springerplus, 5, P. 1544.
- Elkhrachy, I., 2018, *Vertical Accuracy Assessment for SRTM and ASTER Digital Elevation Models: A Case Study of Najran City, Saudi Arabia*, *Ain Shams Engineering Journal*, 9, PP. 1807-1817.
- Freeman, T.G., 1991, *Calculating Catchment Area with Divergent Flow Based on a Regular Grid*, *Computers & Geosciences*, 17, PP. 413-422.
- Garcia, M.J.L. & Camarasa, A.M., 1999, *Use of Geomorphological Units to Improve Drainage Network Extraction from a DEM*, *ITC Journal*, 3, PP. 187-195.
- علمی‌زاده، ه.، ماهپیکر، ا.، سعادتمد، م.، ۱۳۹۳، بررسی نظریه فرکتال در ژئومورفولوژی رودخانه‌ای: مطالعه موردی زرینه‌رود، پژوهش‌های ژئومورفولوژی کمی، سال سوم، شماره ۲، صص. ۱۴۰-۱۴۱.
- علیمرادی، م.، اختصاصی، م.، تازه، م.، کریمی، ح.، ۱۳۹۷، محاسبه بعد فرکتال سازنده‌ای زمین‌شناسی و بررسی ارتباط آن با حساسیت سازنده‌ها، پژوهش‌های جغرافیای طبیعی، دوره پنجم، شماره ۲، صص. ۲۴۱-۲۵۳.
- فاطمی، س.ب.، علیزاده نائینی، ا.، ۱۳۹۶، *ارزیابی مدل‌های ارتفاعی رقومی جهانی در قیاس با مدل‌های محلی از منظر ارتفاع و شبیه*, *مجله علمی رایانش نرم و فناوری اطلاعات*, دوره ششم، شماره ۱، صص. ۲۶-۳۵.
- فخار ایزدی، ن.، ناصری، ک.، مصدقی، م.، ۱۳۹۴، اثرات تعداد، سطح و شکل پلات روی صحت و دقت برآورد تولید چند علفزار با استفاده از شبیه‌سازی نمونه‌گیری، *بوم‌شناسی کاربردی*، دوره چهارم، شماره ۱۴، صص. ۵۱-۶۰.
- محمدی، م.، ۱۳۹۶، *بررسی کمی الگوهای ژئومورفولوژی شبکه‌های زهکشی و بعد فرکتال آن در سازنده‌ای زمین‌شناسی مناطق خشک (مطالعه موردی: حوضه دشت یزد—اردکان)*، پایان نامه دکتری، دانشگاه یزد، دانشکدة منابع طبیعی، گروه آبخیزداری.
- محمدی، م.، اختصاصی، م.ر.، طالبی، ع.، حسینی، س.ز.، ۱۳۹۸، *کاربرد بعد فرکتال در تحلیل حساسیت پذیری سازنده‌ای زمین‌شناسی مناطق خشک (مطالعه موردی: حوزه آبخیز دشت یزد—اردکان)*، نشریه مهندسی اکوسیستم بیابان، دوره هشتم، شماره ۲۴، صص. ۱۱-۱۸.

- Gorokhovich, Y. & Voustianiouk, A., 2006, **Accuracy Assessment of the Processed SRTM-Based Elevation Data by CGIAR Using Field Data from USA and Thailand and Its Relation to the Terrain Characteristics**, Remote Sensing of Environment, 104, PP. 409-415.
- Holmgren, P., 1994, **Multiple Flow Direction Algorithms for Runoff Modelling in Grid Based Elevation Models: An Empirical Evaluation**, Hydrological Processes, 8, PP. 327-334.
- Huang, P.-C., & Lee, K. T., 2016, **Distinctions of geomorphological properties caused by different flow-direction predictions from digital elevation models**. International Journal of Geographical Information Science, 30(2), 168-185.
- Huggel, C., Schneider, D., Miranda, P.J., Granados, H.D. & Kääb, A., 2008, **Evaluation of ASTER and SRTM DEM Data for Lahar Modeling: A Case Study on Lahars from Popocatépetl Volcano, Mexico**, Journal of Volcanology and Geothermal Research, 170, PP. 99-110.
- Hui, Y. & Changxing, S., 2017, **The Fractal Characteristics of Drainage Networks and Erosion Evolution Stages of Ten Kongduis in the Upper Reaches of the Yellow River, China**, Journal of Resources and Ecology, 8, PP. 165-174.
- Jacobsen, K. & Passini, R., 2010, **Analysys of ASTER GDEM Elevation Models**, Paper presented at the International Archives of the Photogrammetry, Remote Sensing and Spatial Information Sciences:[2010 Canadian Geomatics Conference And Symposium Of Commission I, ISPRS Convergence In Geomatics-Shaping Canada's Competitive Landscape] 38, Nr. Part 1.
- Khanbabaei, Z., Karam, A. & Rostamizad, G., 2013, **Studying Relationships between the Fractal Dimension of the Drainage Basins and Some of their Geomorphological Characteristics**, International Journal of Geosciences, 4, PP. 636-642.
- Kusák, M., 2013, **Morphometric Characteristics of Valley Nets in the Blue Nile Basin in the Ethiopian Highlands**, Praha, 97 P., The Diploma Thesis (Mgr.), Ph.D. Department of Physical Geography and Geoecology, Faculty of Science, Charles University in Prague.
- Kusák, M., 2014, **Review Article: Methods of Fractal Geometry Used in the Study of Complex Geomorphology Networks**, AUC Geographia, PP. 99-110.
- Lahsaini, M., Tabyaoui, H., Mounadel, A., Bouderka, N. & Lakhili, F., 2018, **Comparison of SRTM and ASTER Derived Digital Elevation Models of Inaouene River Watershed (North, Morocco)—Arc Hydro Modeling**, Journal of Geoscience and Environment Protection, 6, PP. 141-156.
- Lea, N., 1992, **An Aspect Driven Kinematic Routing Algorithm, Overland Flow: Hydraulics and Erosion Mechanics Aj Parsons, Ad Abrahams**, Chapman and Hall, New York.
- Li, J. & Wong, D.W.S., 2010, **Effects of DEM Sources on Hydrologic Applications**, Computers, Environment and Urban Systems, 34, PP. 251-261.
- Mandelbrot, B.B., 1983, **The Fractal Geometry of Nature/ Revised and Enlarged Edition**, New York, WH Freeman and Co.
- Metz, M., Mitasova, H. & Harmon, R., 2011, **Efficient Extraction of Drainage Networks from Massive, Radar-Based Elevation Models with Least Cost Path Search**, Hydrology and Earth System Sciences, 15, PP. 667-678.
- O'Callaghan, J.F. & Mark, D.M., 1984, **The Extraction of Drainage Networks from Digital Elevation Data**, Computer Vision, Graphics, and Image Processing, 28, PP. 323-344.
- Orlandini, S., Moretti, G., Franchini, M., Aldighieri, B. & Testa, B., 2003, **Path-Based Methods for the Determination of Nondispersive Drainage Directions in Grid-Based Digital Elevation Models**, Water Resources Research, 39, PP. 1-8.

- Orlandini, S. & Moretti, G., 2009, **Determination of Surface Flow Paths from Gridded Elevation Data**, Water Resources Research, 45, PP. 1-18.
- Ouerghi, S., ELsheikh, R.F.A., Achour, H. & Bouazi, S., 2015, **Evaluation and Validation of Recent Freely-Available ASTER-GDEM V. 2, SRTM V. 4.1 and the DEM Derived from Topographical Map over SW Grombalia (Test Area) in North East of Tunisia**, Journal of Geographic Information System, 7, PP. 266-279.
- Pelletier, J.D., 2007, **Fractal Behavior in Space and Time in a Simplified Model of Fluvial Landform Evolution**, Geomorphology, 91, PP. 291-301.
- Poggio, L. & Soille, P., 2011, **A Probabilistic Approach to River Network Detection in Digital Elevation Models**, Catena, 87, PP. 341-350.
- Quinn, P., Beven, K., Chevallier, P. & Planchon, O., 1991, **The Prediction of Hillslope Flow Paths for Distributed Hydrological Modelling Using Digital Terrain Models**, Hydrological Processes, 5, PP. 59-79.
- Sefercik, U.G., 2012, **Performance Estimation of ASTER Global DEM Depending upon the Terrain Inclination**, Journal of the Indian Society of Remote Sensing, 40, PP. 565-576.
- Seibert, J. & McGlynn, B.L., 2007, **A New Triangular Multiple Flow Direction Algorithm for Computing Upslope Areas from Gridded Digital Elevation Models**, Water Resources Research, 43, PP. 1-8.
- Smith, M. & Pain, C., 2009, **Applications of Remote Sensing in Geomorphology**, Progress in Physical Geography, 33, PP. 568-582.
- Szabó, G., Singh, S.K. & Szabó, S., 2015, **Slope Angle and Aspect as Influencing Factors on the Accuracy of the SRTM and the ASTER GDEM Databases**, Physics and Chemistry of the Earth, Parts A/B/C, 83, PP. 137-145.
- Tarboton, D.G., 1997, **A New Method for the Determination of Flow Directions and Upslope Areas in Grid Digital Elevation Models**, Water Resources Research, 33, PP. 309-319.
- Thomas, J., Joseph, S., Thrivikramji, K. & Arunkumar, K., 2014, **Sensitivity of Digital Elevation Models: The Scenario from Two Tropical Mountain River Basins of the Western Ghats, India**, Geoscience Frontiers, 5, PP. 893-909.
- Thompson, J.A., Bell, J.C. & Butler, C.A., 2001, **Digital Elevation Model Resolution: Effects on Terrain Attribute Calculation and Quantitative Soil-Landscape Modeling**, Geoderma, 100, PP. 67-89.
- Yang, H. & Shi, C., 2017, **The Fractal Characteristics of Drainage Networks and Erosion Evolution Stages of Ten Kongduis in the Upper Reaches of the Yellow River**, Journal of Resources and Ecology, 8, PP. 165-173.



سنجش از دور

## GIS ایران

سال سیزدهم، شماره اول، بهار ۱۴۰۰  
Vol.13, No. 1, Spring 2021

سنجش از دور و GIS ایران  
Iranian Remote Sensing & GIS

33-54



# The Accuracy of Flow Direction Algorithms and ASTER, SRTM DEMs and Topographic Maps of 1:25000 for Extracting Fractal Dimension of Drainage Networks

Mohammadi Khoshou M.<sup>1\*</sup>, Ekhtesasi M.R.<sup>2</sup>, Talebi A.<sup>2</sup>, Hosseini S.Z.<sup>3</sup>

1. Ph.D. of Watershed Management Engineering, Faculty of Natural Resources and Desert Studies, Yazd University

2. Prof. of Faculty of Natural Resources and Desert Studies, Yazd University

3. Assistant Prof., Faculty of Natural Resources and Desert Studies, Yazd University

## Abstract

Digital elevation models and its derivatives are important factors for watershed modeling. It is obvious that DEM errors adversely affect the accuracy and thereby modeling of natural processes. This problem along with the impossibility of measuring all elements of nature, has led to a major evolution in the way of understanding and explaining phenomena. In this way, we can use the fractal geometry with the theory that many natural phenomena are order in the chaos. Each element of nature is represented as a fractal geometry number. The fractal geometry is a quantitative tool for studying the geomorphology of drainage networks and modeling many complex natural phenomena. In fact, geophysical phenomena such as drainage networks are fractal phenomena with fractal behavior. The purpose of this paper is to evaluate sensitivity of the drainage networks based on DEMs (ASTER & SRTM), flow direction algorithms (Single Flow Direction (D8) and Multiple Flow Direction (MD8)) and topographic maps of 1:25000 in order to study the fractal dimension of drainage network on geological formations of Yazd-Ardakan basin. The results showed that the least difference in the length and the rank of the stream belonged to the drainage network obtained from the topographic maps of 1:25000. After the topographic maps, ASTER and the multi-flow direction (MFD) algorithm and ASTER, and the single flow direction (SFD) algorithm are close to real ground map. Even though the multi-flow direction algorithm shows more detail on the drainage network. But it is not close to real ground map. The difference is particularly noticeable in the first rank of streams. SRTM and the flow direction algorithms showed only good results in routing the main rank of drainage networks. In fact, the results of this study demonstrate that accurate extraction of drainage networks from DEMs generated by remote sensing technologies such as SRTM or ASTER and SFD or MFD algorithms remains challenging. Therefore, the analysis of DEMs and flow direction algorithms should be considered as an important part of hydrological and geomorphological research. Due to the very high sensitivity of the fractal dimension to the smallest change in drainage network conditions, the drainage network obtained from topographic maps were used to calculate the fractal dimension. The mean fractal dimension of 1.149, 1.16 and 1.207, respectively, represents Taft, Granite and Kahar formations. There is a significant correlation between fractal dimension and sensitivity to erosion of geological formations (level 0.99). In fact, the fractal dimension increases with increasing the sensitivity to erosion along with the drainage density in geological formations. The results showed that fractal dimension allows for a quick and accurate analysis of sensitivity to erosion of the formations of this area.

**Keywords:** Digital elevation model, Drainage network, Flow direction algorithm, Fractal dimension.

\* Correspondence Address: Faculty of Natural Resources and Desert Studies, Yazd University. Tel: 09357969962  
Email: m.mohammadi@stu.yazd.ac.ir